



# OFICINA ESPAÑOLA DE PATENTES Y MARCAS

ESPAÑA



11) Número de publicación: 2 703 514

EP 2981527

(51) Int. CI.:

**C07D 277/64** (2006.01) **C12Q 1/66** (2006.01)

(12)

## TRADUCCIÓN DE PATENTE EUROPEA

**T3** 

(86) Fecha de presentación y número de la solicitud internacional: 07.04.2014 PCT/GB2014/051080

(87) Fecha y número de publicación internacional: 09.10.2014 WO14162157

96 Fecha de presentación y número de la solicitud europea: 07.04.2014 E 14717070 (8)

(97) Fecha y número de publicación de la concesión europea:

(54) Título: Derivados de luciferina

(30) Prioridad:

05.04.2013 GB 201306248

Fecha de publicación y mención en BOPI de la traducción de la patente: 11.03.2019

(73) Titular/es:

31.10.2018

UNIVERSITY COLLEGE CARDIFF CONSULTANTS LIMITED (100.0%) 30-36 Newport Road, Cardiff South Glamorgan CF24 0DE, GB

(72) Inventor/es:

JATHOUL, AMIT P.; GROUNDS, HELEN; ANDERSON, JAMES C. y PULE, MARTIN A.

74 Agente/Representante:

**ELZABURU, S.L.P** 

#### **DESCRIPCIÓN**

#### Derivados de luciferina

15

25

30

35

40

45

La presente invención se refiere a compuestos y sus usos. En particular, aunque no exclusivamente, se refiere a compuestos luminogénicos y a su aplicación en técnicas de formación de imágenes *in vivo*.

La catálisis de un sustrato (por ejemplo, la luciferina) por una enzima de bioluminiscencia (BLI) (por ejemplo, luciferasa) produce la liberación de luz. Así, la formación de imágenes de bioluminiscencia de animales pequeños emplea la emisión de luz por la expresión transgénica, en particular, de la luciferasa de luciérnaga ("firefly luciferase", Fluc), en uno o más tejidos seleccionados. Esta modalidad rápida, barata y muy sensible ha revolucionado el uso de los modelos de animales pequeños, permitiendo el seguimiento cuantitativo y longitudinal fácil de células marcadas de un modo no invasivo. Además, las enzimas y los sustratos funcionalizados permiten la formación de imágenes de acontecimiento biológicos dentro de animales pequeños.

Sin embargo, la extensión de esta modalidad para permitir formar imágenes multiparamétricas y tomográficas verdaderas ha demostrado ser difícil, principalmente porque las luciferasas emiten luz (de color amarillo verdoso) que en gran medida es absorbida por la hemoglobina. Esto provoca difusión y una atenuación diferencial que depende de la densidad del tejido y de la profundidad de la fuente de luz. Por tanto, el desplazamiento de la emisión de la luciferasa hacia el infrarrojo cercano ("near infrared", nIR) eliminaría estas barreras, puesto que incluso los tejidos complejos de mamíferos son bastante transparentes en estas longitudes de onda (en la "ventana óptica" de aproximadamente 620-800 nm).

A pesar del gran interés existente, en la actualidad no existe ningún marcador de BLI de nIR codificado genéticamente. Además, debido a que la BLI se limita, en la actualidad, a animales relativamente pequeños, la emisión en nIR con un rendimiento cuántico respetable permitiría obtener BLI en animales más grandes de lo que es posible hoy en día.

La luciferasa de luciérnaga (Fluc) se ha modificado mucho, aumentando su expresión y su estabilidad y desplazando su emisión con la luciferina de luciérnaga natural desde el amarillo verdoso al rojo. Sin embargo, es evidente que los sistemas actuales están cerca del límite del desplazamiento hacia el rojo (aproximadamente 620 nm) que puede lograrse mediante la mutagénesis de Fluc de *Photinus pyralis*.

Se sabe que la luciferina de luciérnaga (que a menudo se denomina LH<sub>2</sub>) produce al menos dos colores de bioluminiscencia con diferentes mutantes de luciferasa de luciérnaga, el color amarillo verdoso natural (máximo de la longitud de onda - λmax 557 nm) y un color rojo (λmax 620 nm). Los mutantes rojos son útiles en la formación de imágenes *in vivo*, puesto que la atenuación de la luz roja es menos intensa y variable. Además, debido a que la dispersión de los fotones depende de la longitud de onda (la dispersión es proporcional a 1/longitud de onda<sup>4</sup>), se prevé que la emisión roja permita una mayor resolución y una formación de imágenes de bioluminiscencia de tejidos más profundos.

Debido a la atenuación diferencial de los dos colores y la atenuación variable de la emisión del amarillo verdoso (que depende de la profundidad, la concentración de hemoglobina y la densidad del tejido), hasta la fecha ha sido imposible lograr una formación de imágenes de bioluminiscencia multiparamétrica *in vivo*. Debido a esto, debe utilizarse el espacio de información por encima de 600 nm (la ventana óptica por encima de la absorbancia de la hemoglobina). Por tanto, de modo ideal, la emisión debería desplazarse hasta aproximadamente 100 nm comparada con los sistemas actuales, hacia las regiones del rojo lejano o del infrarrojo cercano. También sería beneficioso que la emisión máxima se produjera a diferentes longitudes de onda con diferentes mutantes, y conseguir una banda de emisión estrecha para lograr la formación de imágenes multiparamétricas.

No se conoce el mecanismo químico para los diferentes colores observados con diferentes Fluc mutantes y LH<sub>2</sub> nativa, y muchos estudios con mutantes y análogos de sustratos lo han intentado determinar sin éxito (Navizet *et al.*, J. Am. Chem. Soc., 2010, 132, 706-12). Una hipótesis es que el producto emisor de la reacción de Fluc, la oxiluciferina (OL), puede existir en dos formas tautómeras, concretamente 4-ceto emisor de rojo y 4-enolato emisor de amarillo verdoso (White *et al.*, Bioorg. Chem., 1971, 1, 92-122); sin embargo, esta teoría es menos probable, puesto que los análogos 5-sustituidos con dimetilo preadenilados (que no pueden formar un enolato) pueden producir colores verdes y rojos con Fluc de tipo salvaje y mutantes, respectivamente (Branchini *et al.*, J. Am. Chem. Soc. Comm., 2002, 124, 2112-3).

Existen otras teorías, que incluyen una solución que contempla que la molécula entera puede existir en dos formas de resonancia diferentes, dictadas por las interacciones electrostáticas y/o de enlaces de H en el sitio activo (Branchini et al., Biochemistry, 2004, 43, 7255-62). Aunque en realidad no se ha demostrado, a esta teoría le apoyan los cálculos de la mecánica cuántica (Nakatani et al., J. Am. Chem. Soc., 2007, 129, 8756-65). Además, el mecanismo postulado que conduce a la emisión con LH<sub>2</sub> (luminiscencia de intercambio de electrones inducida químicamente, "chemically induced electron-exchange luminescence", CIEEL) apoya la idea del movimiento de electrones desde grupos 4 a grupos 6' (Koo et al., PNAS, 1978, 75, 30-3). Sin embargo, parece probable que el límite del desplazamiento hacia el rojo que puede lograrse solo mediante la modificación de enzimas ya se haya

alcanzado (Wood, Biolum. Chemilum., 1990, 5, 107-14).

Los mecanismos químicos teóricos para la resonancia de la luciferina son los siguientes:

1. Formas tautoméricas de ceto-enolato de la oxiluciferina (OL)

2. Deslocalización de resonancia basada en la carga de la oxiluciferina (OL)

5

10

Como se cree que se ha alcanzado el límite del desplazamiento hacia el rojo disponible mediante la modificación de enzimas, una opción alternativa es la modificación de la estructura química de la luciferina (LH<sub>2</sub>). Ya se han sintetizado una serie de análogos de la LH<sub>2</sub> de luciérnaga para ensayar las teorías de emisión, para intentar mejorar el rendimiento luminoso o para desplazar los colores de emisión. Sin embargo, todos han demostrado tener unos rendimientos luminosos reducidos comparado con la LH<sub>2</sub> nativa, y ninguno ha desplazado la emisión lo suficiente hacia las regiones del rojo lejano o del infrarrojo cercano. Así, siguen siendo necesario compuestos que no reduzcan el rendimiento luminoso significativamente, y que desplacen la emisión de luz hacia una región que pueda ser potencialmente útil fuera de la ventana de absorbancia de la hemoglobina.

Se ha indicado que las aminoluciferinas, que incluyen las que tienen las estructuras ilustradas a continuación, tienen mayor afinidad por Fluc que LH<sub>2</sub> (cinética ultrarrápida), una menor emisión de luz que LH<sub>2</sub> y una menor permeabilidad en células en estudios *in vitro* (Maki, J. Electrochem. Soc. Japan, 2006, 9; Iwano *et al.*, Tetrahedron, 2013, http://dx.doi.Org/10.1016/j .tet.2013.03.050; Ugarova *et al.*, Luminescence, 2002, 17, 321-30; publicación de patente japonesa JP2009184932).

indicado a 660 nm 
$$CO_2H$$

Sin embargo, no se han indicado datos sobre el efecto del pH sobre el máximo de longitud de onda de emisión ni del uso de Fluc mutada para cambiar la longitud de onda emitida. Además, no se han indicado estudios *in vivo*.

Los documentos WO 2013/027770, JP 2010/189359 y CN 10217536 describen cada uno compuestos heterocíclicos alternativos que no proporcionan un desplazamiento hacia el rojo significativo en la emisión ni permiten la formación de imágenes multiparamétrica.

Por tanto, un objeto de la presente invención es proporcionar nuevos análogos de sustratos de la luciferina que produzcan un desplazamiento hacia el rojo de la emisión, en particular hacia el intervalo del nIR. Además, resulta deseable que dichos compuestos posean una biocompatibilidad similar (por ejemplo, una buena biodistribución y una baja toxicidad) a la luciferina natural, y que muestran diferentes colores de emisión (tengan formas de emisión diferenciadas) con diferentes mutantes de Fluc.

Según la invención, se proporciona un compuesto según la fórmula (II):

$$\begin{array}{c}
(R^2)_n \\
X \\
X
\end{array}$$

$$X \\
X \\
Z$$
(II)

en la que:

10

15 R¹ es hidrógeno o un grupo alquilo opcionalmente sustituido;

cada R², cuando está presente, es un grupo seleccionado independientemente de hidroxilo opcionalmente sustituido, amino opcionalmente sustituido, tiol opcionalmente sustituido, alquilo opcionalmente sustituido, y arilo opcionalmente sustituido;

R<sup>3</sup> es un grupo carboxilo o un grupo alquil(C<sub>1-6</sub>)carboniloxi opcionalmente sustituido;

M es un grupo seleccionado de O, S, y NR<sup>4</sup>, en el que R<sup>4</sup> es un grupo seleccionado de hidrógeno, alquilo opcionalmente sustituido, alquenilo opcionalmente sustituido, arilo opcionalmente sustituido, heteroarilo opcionalmente sustituido, y heterociclilo opcionalmente sustituido;

X es un grupo seleccionado de alquenileno opcionalmente sustituido, alquinileno opcionalmente sustituido, arileno opcionalmente sustituido, y sus combinaciones, o alquilencarbonilo opcionalmente sustituido;

25 n es 0, 1, 2, o 3;

V e Y se seleccionan cada uno independientemente de CR<sup>5</sup> y N;

W y Z se seleccionan cada uno independientemente de NR7, S y O;

R<sup>5</sup> es un grupo seleccionado de hidrógeno, hidroxilo opcionalmente sustituido, alquilo opcionalmente sustituido, y amino opcionalmente sustituido; y

R<sup>7</sup> es un grupo seleccionado de hidrógeno, alquilo opcionalmente sustituido, y arilo opcionalmente sustituido.

- Se ha descubierto que los compuestos de fórmula (II) representan análogos de sustratos bioluminiscentes de la luciferina que muestran un desplazamiento hacia el rojo en la emisión hacia el intervalo del nIR. Así, son los primeros ejemplos de marcadores de BLI de nIR que tienen una verdadera bioluminiscencia que alcanza un pico en el nIR (es decir, no son el producto de la filtración o la transferencia de energía de resonancia). Las características estructurales, tales como el grupo conector insaturado X, permiten conseguir además diferentes colores de emisión (tienen formas emisoras distintivas) con diferentes enzimas mutantes y/o bajo condiciones variables de pH.
- Estos análogos tienen el potencial de abrir una nueva época para la BLI multiespectral, facilitando la formación de imágenes multiparamétrica de mayor resolución y una mayor penetración en profundidad, e incluyen la formación de imágenes de animales más grandes, tales como perros, gatos, primates y sujetos humanos.
- Se ha descubierto que los compuestos de fórmula (II) son activos *in vivo*, por ejemplo, cuando se inyectan en ratones que contienen linfomas derivados de células de Raji sistémicos. Se pueden formar imágenes con la luz generada para fines analíticos. Por tanto, los compuestos tienen el potencial para aumentar la penetración en profundidad y la resolución de BLI reduciendo la atenuación por la hemoglobina (Hb) y la dispersión (un porcentaje mayor de fotones no son absorbidos por la Hb y además viajan durante más tiempo en línea recta), así como para lograr una BLI multiespectral de alta sensibilidad empleada por sí misma o en combinación con la luciferina natural u otros análogos.
- La expresión "alquilo  $C_{x,y}$ ", tal como se emplea en la presente, se refiere a un grupo hidrocarbonado saturado lineal o ramificado que contiene de x a y átomos de carbono. Por ejemplo, alquilo  $C_{1-6}$  se refiere a un grupo hidrocarbonado saturado lineal o ramificado que contiene de 1 a 6 átomos de carbono. Los ejemplos de grupos alquilo  $C_{1-6}$  incluyen metilo, etilo, n-propilo, isopropilo, n-butilo, isobutilo, sec-butilo, terc-butilo, n-pentilo, isopentilo, neopentilo, hexilo e isohexilo.
- La expresión "alquileno  $C_{x,y}$ ", tal como se emplea en la presente, se refiere a un grupo hidrocarbonado divalente que se obtiene retirando un átomo de hidrógeno del anterior "alquilo  $C_{x,y}$ ". Los ejemplos de grupos alquileno  $C_{1-6}$  incluyen metileno, etileno, propileno, butileno, pentileno, y hexileno.

30

35

- La expresión "alquenilo  $C_{xy}$ ", tal como se emplea en la presente, se refiere a un grupo hidrocarbonado lineal o ramificado que contiene uno o más dobles enlaces carbono-carbono y que tiene de x a y átomos de carbono. Los ejemplos de grupos alquenilo  $C_{2-6}$  incluyen etenilo, 1-propenilo, 2-propenilo, 2-metil-1-propenilo, 1-butenilo, 2-butenilo, 3-butenilo, 3-metil-2-butenilo, 1-pentenilo, 2-pentenilo, 3-pentenilo, 4-metil-3-pentenilo, 1-hexenilo, 3-hexenilo, y 5-hexenilo.
- La expresión "alquenileno  $C_{x-y}$ ", tal como se emplea en la presente, se refiere a un grupo hidrocarbonado divalente que se obtiene retirando un átomo de hidrógeno del anterior "alquenilo  $C_{x-y}$ ". Los ejemplos de grupos alquenileno  $C_{2-6}$  incluyen etenileno, propenileno, butenileno, 1,3-butadienileno, pentenileno, hexenileno, y 1,3,5 -hexatrienileno.
- La expresión "alquinilo  $C_{x-y}$ ", tal como se emplea en la presente, se refiere a un grupo hidrocarbonado divalente que contiene uno o más triples enlaces carbono-carbono y que tiene de x a y átomos de carbono. Los ejemplos de grupos alquinilo  $C_{2-6}$  incluyen etinilo, propinilo, butinilo y pentinilo.
- La expresión "alquinileno  $C_{x,y}$ ", tal como se emplea en la presente, se refiere a un grupo hidrocarbonado divalente que se obtiene retirando un átomo de hidrógeno del anterior "alquinilo  $C_{x,y}$ ". Los ejemplos de grupos alquinileno  $C_{2-6}$  incluyen etinileno, propinileno, butinileno, 1,3-butadiinileno, pentinileno, hexinileno, y 1,3,5 -hexatriinileno.
  - La expresión "alcoxi  $C_{x-y}$ ", tal como se emplea en la presente, se refiere a un grupo -O-alquilo  $C_{x-y}$ , en el que alquilo  $C_{x-y}$  es como se define en la presente. Los ejemplos de grupos alcoxi  $C_{1-6}$  incluyen metoxi, etoxi, propoxi, isopropoxi, butoxi, terc-butoxi, pentoxi y hexoxi.
- La expresión "anillo hidrocarbonado de x a y miembros", tal como se emplea en la presente, se refiere a un anillo de cicloalquilo, cicloalquenilo o arilo según se define a continuación con relación a la fórmula (II).
  - La expresión "cicloalquilo de x a y miembros", tal como se emplea en la presente, se refiere a un anillo hidrocarbonado monocíclico saturado de x a y átomos de carbono. Por ejemplo, un cicloalquilo de 3 a 6 miembros se refiere a un anillo hidrocarbonado monocíclico saturado de 3 a 6 átomos de carbono. Los ejemplos de grupos cicloalquilo de 3 a 6 miembros incluyen ciclopropilo, ciclobutilo, ciclopentilo, y ciclohexilo.
  - La expresión "cicloalquenilo de x a y miembros", tal como se emplea en la presente, se refiere a un anillo hidrocarbonado monocíclico que contiene uno o más dobles enlaces carbono-carbono de x a y átomos de carbono. Por ejemplo, un cicloalquenilo  $C_{3-6}$  se refiere a un anillo hidrocarbonado monocíclico insaturado de 3 a 6 átomos de carbono. Los ejemplos de grupos cicloalquenilo  $C_{3-6}$  incluyen 2-ciclopenten-1-ilo, 3-ciclopenten-1-ilo, 2-ciclohexen-1-

ilo, y 3-ciclohexen-1-ilo.

10

15

30

35

40

45

50

55

El término "arilo", tal como se emplea en la presente, se refiere a un anillo hidrocarbonado monocíclico de 5 a 6 miembros que contiene de x a y átomos de carbono, en el que el anillo es aromático. Un ejemplo de dicho grupo arilo es fenilo. Como alternativa, la expresión "arilo  $C_{x-y}$ ", tal como se emplea en la presente, se refiere a un anillo monocíclico o bicíclico que contiene de x a y átomos de carbono, en el que al menos un anillo es aromático. Los ejemplos de grupos arilo  $C_{6-14}$  incluyen fenilo, naftilo, tetrahidronaftalenilo, antrilo, fenantrilo, acenaftilenilo, bifenililo, antracenilo, fenantrenilo, y fenalenilo.

El término "arileno", tal como se emplea en la presente, se refiere a un grupo hidrocarbonado divalente que se obtiene retirando un átomo de hidrógeno del anterior "arilo  $C_{x-y}$ ". Un ejemplo de dicho grupo arileno es fenileno. Como alternativa, la expresión "arileno  $C_{x-y}$ ", tal como se emplea en la presente, se refiere a un anillo monocíclico o bicíclico que contiene de x a y átomos de carbono, en el que al menos un anillo es aromático. Los ejemplos de grupos arileno  $C_{6-14}$  incluyen fenileno, naftileno, tetrahidronaftalenileno, antrileno, fenantrileno, acenaftilenileno, bifenilileno, antracenileno, fenantrenileno y fenalenileno.

El término "heteroarilo", tal como se emplea en la presente, representa un anillo aromático monocíclico de 5 a 6 miembros, en el que el anillo monocíclico contiene de 1 a 4 heteroátomos seleccionados de oxígeno, nitrógeno y azufre. Los ejemplos de dichos anillos aromáticos monocíclicos incluyen tienilo, furilo, furazanilo, pirrolilo, triazolilo, tetrazolilo, imidazolilo, oxazolilo, tiazolilo, oxadiazolilo, isotiazolilo, isoxazolilo, tiadiazolilo, piranilo, pirazolilo, pirimidilo, piridazinilo, piridilo, triazinilo, y tetrazinilo.

El término "heterociclilo" se refiere a un anillo monocíclico de 5 a 6 miembros que puede estar saturado o parcialmente insaturado, en el que el anillo monocíclico contiene de 1 a 4 heteroátomos seleccionados de oxígeno, nitrógeno y azufre. Los ejemplos de dichos anillos monocíclicos incluyen aziridinilo, oxiranilo, pirrolidinilo, pirazolidinilo, pirazolidinilo, piperazinilo, morfolinilo, tiomorfolinilo, tiazolidinilo, hidantoinilo, valerolactamilo, oxiranilo, oxetanilo, dioxolanilo, dioxonilo, oxatiolanilo, oxatianilo, ditianilo, dihidrofuranilo, tetrahidropiranilo, tetrahidropiridinilo, tetrahidropirimidinilo, tetrahidro

El término "amino", tal como se emplea en la presente, se refiere a un compuesto de organonitrógeno con la conectividad -N(R')(R"), en la que R' y R" son cada uno independientemente un hidrógeno o un sustituyente opcional según se define a continuación con relación a la fórmula (II).

La expresión "(alquil  $C_{x-y}$ )carboniloxi", tal como se emplea en la presente, se refiere a un grupo alquilo, en el que alquilo  $C_{x-y}$  es como se define en la presente, y al menos un grupo metileno (es decir, -CH<sub>2</sub>-) está reemplazado por un grupo éster (por ejemplo, -CO<sub>2</sub>-). Los ejemplos de grupos (alquil  $C_{1-6}$ )carboniloxi incluyen etanoato, propanoato, butanoato, pentanoato, y hexanoato. El término "carboniloxi", tal como se emplea en la presente, se refiere a un único grupo carboniloxi de fórmula: -CO<sub>2</sub>-.

La expresión "(alquil  $C_{x-y}$ )carbamoílo", tal como se emplea en la presente, se refiere a un grupo alquilo, en el que alquilo  $C_{x-y}$  es como se define en la presente, y al menos un grupo metileno (es decir,  $-CH_2$ -) está reemplazado por un grupo amida (por ejemplo, -C(O)NR-, en el que R es un átomo de hidrógeno, un grupo heterociclilo de 5 o 6 miembros, un grupo heterocarilo de 5 o 6 miembros, un grupo cicloalquilo de 3 a 6 miembros, un grupo alquilo  $C_{1-6}$ , o un grupo arilo  $C_{6-14}$ , preferiblemente un átomo de hidrógeno). Los ejemplos de grupos (alquil  $C_{1-6}$ )carbamoílo incluyen etilcarbamoílo, propilcarbamoílo, butilcarbamoílo, pentilcarbamoílo y hexilcarbamoílo. El término "carbamoílo", tal como se emplea en la presente, se refiere a un único grupo carbamoílo de fórmula: -C(O)NR-, en el que R es como se definió anteriormente.

La expresión "(alcoxi  $C_{x-y}$ )carbonilo", tal como se emplea en la presente, se refiere a un grupo alquilo, en el que alquilo  $C_{x-y}$  es como se define en la presente, y al menos un grupo metileno (es decir,  $-CH_{2^-}$ ) está reemplazado por un grupo éster (por ejemplo, -OC(O)-). Los ejemplos de grupos (alquil  $C_{1-6}$ )carbonilo incluyen etiloxicarbonilo, propiloxicarbonilo, butiloxicarbonilo, pentiloxicarbonilo, y hexiloxicarbonilo. El término "oxicarbonilo", tal como se emplea en la presente, se refiere a un único grupo oxicarbonilo de fórmula: -OC(O)-.

La expresión "(alquil  $C_{x-y}$ )carbonilo", tal como se emplea en la presente, se refiere a un grupo alquilo, en el que alquilo  $C_{x-y}$  es como se define en la presente, y al menos un grupo metileno (es decir,  $-CH_{2^-}$ ) está reemplazado por un grupo carbonilo (es decir, -C=0). Los ejemplos de grupos (alquil  $C_{1-6}$ )carbonilo incluyen etanoílo, propanoílo, butanoílo, pentanoílo, y hexanoílo. El término "carbonilo", tal como se emplea en la presente, se refiere a un único grupo carbonilo de fórmula: -C=0.

El término "hidroxilo", tal como se emplea en la presente, se refiere a un grupo de fórmula -OH. Si dicho grupo está sustituido, el grupo resultante es un éter de fórmula -O-.

El término "tiol", tal como se emplea en la presente, se refiere a un grupo de fórmula -SH. Si dicho grupo está sustituido, el grupo resultante es un tioéter de fórmula -S-.

Cada símbolo en la fórmula (II) se describe en detalle a continuación.

 $R^1$  es hidrógeno o un grupo alquilo opcionalmente sustituido. En una realización preferible,  $R^1$  es hidrógeno o un grupo alquilo  $C_{1:3}$  opcionalmente sustituido. En particular, para mejorar la resonancia y, por tanto, la estabilidad,  $R^1$  es preferiblemente es hidrógeno.

Cada R², cuando está presente, es un grupo seleccionado independientemente de hidroxilo opcionalmente sustituido, amino opcionalmente sustituido, tiol opcionalmente sustituido, alquilo opcionalmente sustituido, y arilo opcionalmente sustituido. En una realización preferible, R², cuando está presente, es un grupo seleccionado independientemente de hidroxilo opcionalmente sustituido, amino opcionalmente sustituido, y alquilo opcionalmente sustituido. En particular, para mejorar la resonancia, R² es preferiblemente es un grupo seleccionado independientemente de hidroxilo y amino opcionalmente sustituido.

R³ es carboxilo o (alquil C<sub>1-6</sub>)carboniloxi opcionalmente sustituido. En particular, cuando R³ es un grupo (alquil C<sub>1-3</sub>)carboniloxi se obtiene un compuesto más estable, por ejemplo, se reduce la racemización en la posición α con respecto al carbonilo, y no aparecen unos efectos adversos significativos en términos de bioluminiscencia. En efecto, las esterasas habituales rompen estos grupos *in vivo* para producir análogos de luciferina funcionales que tienen funcionalidad carboxilo. Por tanto, aunque R³ es preferiblemente hidrógeno para mejorar la estabilidad de resonancia, R³ es preferiblemente un grupo (alquil C<sub>1-3</sub>)carboniloxi para conseguir estabilidad y poder manipularlo ex *vivo*, escindiéndose el grupo éster *in vivo*.

M es un grupo seleccionado de O, S, y NR<sup>4</sup>, en el que R<sup>4</sup> es un grupo seleccionado de hidrógeno, alquilo opcionalmente sustituido, alquenilo opcionalmente sustituido, arilo opcionalmente sustituido, heteroarilo opcionalmente sustituido, y heterociclilo opcionalmente sustituido. En una realización preferible, M se selecciona de O y S. En particular, M es preferiblemente O. Además, se ha descubierto que los compuestos en los que M es O y R<sup>1</sup> es hidrógeno son particularmente estables.

X es un grupo seleccionado de grupos alquenileno opcionalmente sustituido, alquinileno opcionalmente sustituido, y arileno opcionalmente sustituido, y sus combinaciones, o un grupo alquillencarbonilo opcionalmente sustituido. En otra realización preferida, X es un grupo seleccionado independientemente de alquenileno opcionalmente sustituido, alquinileno opcionalmente sustituido, aralquileno opcionalmente sustituido y alquilencarbonilo opcionalmente sustituido. En particular, se prefiere un grupo (alquilen  $C_{2-6}$ )carbonilo, o un grupo seleccionado de alquenileno  $C_{2-6}$ , alquinileno  $C_{2-6}$ , arileno  $C_{6-14}$ , y sus combinaciones. Lo más preferiblemente, X es un grupo alquenileno opcionalmente sustituido. Preferiblemente, X proporciona la conjugación entre los dos sistemas de anillo, de modo que se proporciona la estabilización de la resonancia. Además, se ha descubierto que la conjugación adicional proporcionada por X, concretamente mediante múltiples enlaces insaturados, tales como  $-C_2H_2-C_2H_2-$ , desplaza aún más hacia el rojo la longitud de onda de emisión hacia el nIR.

El número de sustituyentes posibles,  $R^2$ , sobre el anillo de fenilo del compuesto de fórmula (II) se indica como n, en la que n es 0, 1, 2, o 3. En una realización preferible, n es 0, 1, o 2, aún más preferiblemente n es 0 o 1.

R<sup>5</sup> es un grupo seleccionado de hidrógeno, hidroxilo opcionalmente sustituido, alquilo opcionalmente sustituido, y amino opcionalmente sustituido. R<sup>7</sup> es un grupo seleccionado de hidrógeno, alquilo opcionalmente sustituido, y arilo opcionalmente sustituido.

V e Y se seleccionan cada uno independientemente de CR<sup>5</sup> y N. W y Z se seleccionan cada uno independientemente de NR<sup>7</sup>, S, y O.

Preferiblemente, se proporciona un compuesto de fórmula (II):

en la que:

5

20

25

30

35

40

R<sup>1</sup> es hidrógeno o alquilo opcionalmente sustituido (preferiblemente hidrógeno):

R², cuando está presente, es un grupo seleccionado independientemente de hidroxilo opcionalmente sustituido, amino opcionalmente sustituido, y alquilo opcionalmente sustituido;

45 R³ es carboxilo o (alquil C<sub>1-6</sub>)carboniloxi opcionalmente sustituido;

M se selecciona de O, S, y NR<sup>4</sup>, en la que R<sup>4</sup> es un grupo seleccionado de hidrógeno, alquilo opcionalmente sustituido, y arilo opcionalmente sustituido (preferiblemente O);

V e Y se seleccionan cada uno independientemente de CR5 y N;

W y Z se seleccionan cada uno independientemente de NR7, S, y O,

en la que R⁵ es un grupo seleccionado de hidrógeno, hidroxilo opcionalmente sustituido, alquilo opcionalmente sustituido y amino opcionalmente sustituido, y

R<sup>7</sup> es un grupo seleccionado de hidrógeno, alquilo opcionalmente sustituido y arilo opcionalmente sustituido; y n es 0 o 1.

Se ha demostrado que estos compuestos poseen una longitud de onda de emisión en el nIR y, por tanto, muestran unas propiedades espectrales mejoradas a través de la hemoglobina, concretamente, existe menos interferencia y/o dispersión cuando la formación de imágenes se realiza *in vivo*. Además, los compuestos muestran un excelente rendimiento cuántico, al menos comparable con los conocidos en la técnica, pero también proporcionan un desplazamiento hacia el rojo con mutantes de color de Fluc.

En otra realización preferida de la invención, se proporciona un compuesto que tiene la fórmula (III):

en la que:

10

30

15 V e Y se seleccionan cada uno independientemente de CR<sup>5</sup> y N;

W y Z se seleccionan cada uno independientemente de NR7, S, y O; y

el resto de los grupos son como se definió anteriormente con relación a la fórmula (II).

En esta realización, resulta preferible que V e Y sean cada uno N. También resulta preferible que W y Z sean cada uno S.

20 Preferiblemente, se proporciona un compuesto de fórmula (III):

$$\begin{array}{c|c}
R^{1} & & & \\
& & & \\
& & & \\
& & & \\
& & & \\
& & & \\
& & & \\
& & & \\
& & & \\
& & & \\
& & & \\
& & & \\
& & & \\
& & & \\
& & & \\
& & & \\
& & & \\
& & & \\
& & & \\
& & & \\
& & & \\
& & & \\
& & & \\
& & & \\
& & & \\
& & & \\
& & & \\
& & & \\
& & & \\
& & & \\
& & & \\
& & & \\
& & & \\
& & & \\
& & & \\
& & & \\
& & & \\
& & & \\
& & & \\
& & & \\
& & & \\
& & & \\
& & & \\
& & & \\
& & & \\
& & & \\
& & & \\
& & & \\
& & & \\
& & & \\
& & & \\
& & & \\
& & & \\
& & & \\
& & & \\
& & & \\
& & & \\
& & & \\
& & & \\
& & & \\
& & & \\
& & & \\
& & & \\
& & & \\
& & & \\
& & & \\
& & & \\
& & & \\
& & & \\
& & & \\
& & & \\
& & & \\
& & & \\
& & & \\
& & & \\
& & & \\
& & & \\
& & & \\
& & & \\
& & & \\
& & & \\
& & & \\
& & & \\
& & & \\
& & & \\
& & & \\
& & & \\
& & & \\
& & & \\
& & & \\
& & & \\
& & & \\
& & & \\
& & & \\
& & & \\
& & & \\
& & & \\
& & & \\
& & & \\
& & & \\
& & & \\
& & & \\
& & & \\
& & & \\
& & & \\
& & & \\
& & & \\
& & & \\
& & & \\
& & & \\
& & & \\
& & & \\
& & & \\
& & & \\
& & & \\
& & & \\
& & & \\
& & & \\
& & & \\
& & & \\
& & & \\
& & & \\
& & & \\
& & & \\
& & & \\
& & & \\
& & & \\
& & & \\
& & & \\
& & & \\
& & & \\
& & & \\
& & & \\
& & & \\
& & & \\
& & & \\
& & & \\
& & & \\
& & & \\
& & & \\
& & & \\
& & & \\
& & & \\
& & & \\
& & & \\
& & & \\
& & & \\
& & & \\
& & & \\
& & & \\
& & & \\
& & & \\
& & & \\
& & & \\
& & & \\
& & & \\
& & & \\
& & & \\
& & & \\
& & & \\
& & & \\
& & & \\
& & & \\
& & & \\
& & & \\
& & & \\
& & & \\
& & & \\
& & & \\
& & & \\
& & & \\
& & & \\
& & & \\
& & & \\
& & & \\
& & & \\
& & & \\
& & & \\
& & & \\
& & & \\
& & & \\
& & & \\
& & & \\
& & & \\
& & & \\
& & & \\
& & & \\
& & & \\
& & & \\
& & & \\
& & & \\
& & & \\
& & & \\
& & & \\
& & & \\
& & & \\
& & & \\
& & & \\
& & & \\
& & & \\
& & & \\
& & & \\
& & & \\
& & & \\
& & & \\
& & & \\
& & & \\
& & & \\
& & & \\
& & & \\
& & & \\
& & & \\
& & & \\
& & & \\
& & & \\
& & & \\
& & & \\
& & & \\
& & & \\
& & & \\
& & & \\
& & & \\
& & & \\
& & & \\
& & & \\
& & & \\
& & & \\
& & & \\
& & & \\
& & & \\
& & & \\
& & & \\
& & & \\
& & & \\
& & & \\
& & & \\
& & & \\
& & & \\
& & & \\
& & & \\
& & & \\
& & & \\
& & & \\
& & & \\
& & & \\
& & & \\
& & & \\
& & & \\
& & & \\
& & & \\
& & & \\
& & & \\
& & & \\
& & &$$

en la que R<sup>1</sup> es hidrógeno o alquilo opcionalmente sustituido (preferiblemente hidrógeno);

R² es un grupo seleccionado independientemente de hidroxilo opcionalmente sustituido, amino opcionalmente sustituido, y alquilo opcionalmente sustituido;

25 R³ es carboxilo o (alquil C<sub>1-6</sub>)carboniloxi opcionalmente sustituido;

M se selecciona de O y S (preferiblemente O);

V e Y se seleccionan cada uno independientemente de CR<sup>5</sup> y N; y

W y Z se seleccionan cada uno independientemente de NR7, S, y O,

en la que R<sup>5</sup> es un grupo seleccionado de hidrógeno, hidroxilo opcionalmente sustituido, alquilo opcionalmente sustituido y amino opcionalmente sustituido, y

R<sup>7</sup> es un grupo seleccionado de hidrógeno, alquilo opcionalmente sustituido y arilo opcionalmente sustituido. Se ha demostrado que estos compuestos poseen una longitud de onda de emisión en el nIR y, por tanto, muestran unas propiedades espectrales mejoradas a través de la hemoglobina, concretamente, existe menos interferencia y/o dispersión cuando la formación de imágenes se realiza *in vivo*. Además, los compuestos muestran un excelente

rendimiento cuántico, al menos comparable con los conocidos en la técnica, pero también proporcionan un desplazamiento hacia el rojo con mutantes de color de Fluc. Además, los compuestos muestran una buena intensidad de bioluminiscencia *in vivo*, sin requerir una preadenilación.

Cada uno de los grupos opcionalmente sustituidos de los compuestos de fórmula (II) y (III) pueden estar sustituidos con:

- (1) un grupo seleccionado de -J-arilo, -J-heteroarilo, -J-heterociclilo y -J-cicloalquilo  $C_{3-6}$ , en los que J representa un enlace o alquileno  $C_{1-3}$ , y dicho arilo se selecciona de fenilo, dicho heteroarilo se selecciona de triazolilo, tienilo, pirazolilo, pirimidilo, piridazinilo, pirazinilo, y piridilo, dicho heterociclilo se selecciona de pirrolidinilo, azetidinilo, pirazolidinilo, piperidinilo, piperazinilo, morfolinilo, y tiazolidinilo, y dicho cicloalquilo  $C_{3-6}$  se selecciona de ciclopropilo, ciclopentilo y ciclohexilo; o
- (2) uno a tres sustituyentes seleccionados de:
- (a) alquilo C<sub>1-6</sub> (preferiblemente metilo, etilo o isopropilo),
- (b) alquenilo C<sub>1-3</sub> (preferiblemente propenilo),
- (c) halógeno (preferiblemente Cl o Br),
- 15 (e) haloalquilo C<sub>1-6</sub> (preferiblemente trifluorometilo),
  - (d) ciano,

5

10

25

30

- (e) amino, opcionalmente mono- o disustituido con alquilo C<sub>1-3</sub>, terc-butoxicarbonilo o bencilo,
- (f) alcoxi C<sub>1-3</sub> (preferiblemente metoxi),
- (g) (alquil C<sub>1-6</sub>)carbonilo (preferiblemente acetilo),
- 20 (h) (alcoxi C<sub>1-3</sub>)carbonilo,
  - (i) (alquil C<sub>1-3</sub>)carboniloxi, incluyendo carboxilo, y
  - (j) (alquil C<sub>1-3</sub>)carbamoílo, incluyendo carbamoílo.

Los compuestos de la presente invención pueden estar en cualquier forma estereoisómera. No obstante, resulta preferible que los compuestos posean la misma forma estereoisomérica que la luciferina natural, es decir, la estereoquímica *S* en la posición α con respecto a la funcionalidad carbonilo (basándose en un anillo de dihidrotiazol).

En particular, el compuesto según la invención puede seleccionarse de:

y sus ésteres de alquilo  $C_{1-6}$ , por ejemplo, metilo, etilo, propilo, isopropilo, butilo, isobutilo y  $\it terc$ -butilo (preferiblemente metilo y etilo).

Un compuesto según la invención puede usarse para la formación de imágenes in vivo, preferiblemente en la

formación de imágenes de bioluminiscencia *in vivo*. Además, cualquiera de los variantes estructurales preferidos mencionados anteriormente con relación a las fórmulas (II)-(III) también representa un aspecto preferido de esta realización como agente de formación de imágenes *in vivo*.

En particular, pueden detectarse células o animales que portan la luciferasa de luciérnaga empleando una serie de dispositivos de formación de imágenes habituales. La forma más habitual de dichos dispositivos detecta los fotones emitidos empleando una lente enfocada sobre un dispositivo de carga acoplada (CCD) enfriado con o sin una preintensificación a través de un tubo fotomultiplicador (por ejemplo, los sistemas de formación de imágenes IVIS, de Perkin Elmer, MA, EE. UU.; y el sistema Photon Imager, de Biospace Laboratories, París, Francia).

5

20

25

30

35

40

45

50

55

Además, pueden detectarse reacciones de quimioluminiscencia que implican a compuestos según la invención o la bioluminiscencia surgida empleando compuestos según la invención y la luciferasa de luciérnaga en ensayos de *in vitro* o de diagnóstico con tubos individuales que son habituales en los laboratorios o con luminómetros de microplacas, que emplean un tubo fotomultiplicador o detectores de fotones de CCD (por ejemplo, los comercializados por Promega, WI, EE. UU.).

En otro aspecto de la invención, se proporciona una composición que comprende un compuesto según la invención y uno o más ingredientes adicionales. Además, cualquiera de estos variantes estructurales preferidos mencionados anteriormente con relación a las fórmulas (II)-(III) también representa un aspecto preferido de esta composición.

Los ingredientes adicionales en la composición pueden incluir diluyentes, excipientes y vehículos farmacéuticamente aceptables. Los diluyentes, excipientes y vehículos farmacéuticamente aceptables que pueden usarse en las composiciones incluyen, pero no se limitan a intercambiadores de iones, alúmina, estearato de aluminio, lecitina, proteínas séricas, tales como la albúmina de suero humana, sustancias tamponantes, tales como fosfatos, glicina, ácido sórbico, sorbato de potasio, mezclas de glicéridos parciales de ácidos grasos vegetales saturados, agua, sales o electrolitos, tales como sulfato de protamina, bifosfato de disodio, bifosfato de potasio, cloruro de sodio, sales de cinc, sílice coloidal, trisilicato de magnesio, polivinilpirrolidona, coenzima A, sustancias a base de celulosa, polietilenglicol, carboximetilcelulosa sodio, poliacrilatos, ceras, polímeros en bloque de polietileno-polioxipropileno, polietilenglicol y lanolina.

La composición de la invención puede administrarse por vía oral, parenteral, mediante un pulverizado para la inhalación, por vía tópica, rectal, nasal, bucal, vaginal o mediante un depósito implantado. Preferiblemente, las composiciones se administran por vía parenteral, de modo más específico mediante inyección. La composición puede contener cualquier vehículo, adyuvante o portador farmacéuticamente aceptable convencional no tóxico. El término parenteral, tal como se emplea en la presente, incluye técnicas de infusión o inyección intraperitoneal, subcutánea, intracutánea, intravenosa, intramuscular, intraarticular, intrasinovial, intraesternal, intratecal, intraocular, intraorbital, intralesional e intracraneal. Preferiblemente, la vía de administración de la composición es la administración intraperitoneal, intravenosa o intramuscular (lo más preferiblemente intraperitoneal).

La composición puede estar en forma de una preparación inyectable estéril, por ejemplo, como una suspensión oleaginosa o acuosa inyectable estéril. Esta suspensión puede formularse según técnicas conocidas en la técnica empleando agentes dispersantes o humectantes adecuados (tales como, por ejemplo, Tween 80) y agentes suspensores. La preparación inyectable estéril también puede ser una disolución o suspensión inyectable estéril en un diluyente o disolvente parenteralmente aceptable no tóxico, por ejemplo, como una disolución en 1,3-butandiol. Entre los vehículos y disolventes aceptables que pueden emplearse se encuentran el manitol, agua, disolución de Ringer y disolución de cloruro de sodio isotónica. Además, de modo convencional se emplean aceites no volátiles estériles como disolvente o medio de suspensión. Para este fin puede emplearse cualquier aceite no volátil suave, que incluyen mono- o diglicéridos sintéticos. Los ácidos grasos, tales como el ácido oleico y sus derivados de glicéridos, son útiles para la preparación de inyectables, así como los aceites farmacéuticamente aceptables naturales, tales como el aceite de oliva o el aceite de ricino, en especial en sus versiones polioxietiladas. Estas disoluciones o suspensiones oleosas también pueden contener un dispersante o diluyente de alcohol de cadena larga, tal como Ph. Helv o un alcohol similar.

En otro aspecto de la invención, se proporciona el uso del compuesto según la invención como marcador bioluminiscente para la medición *in vitro* de la expresión de luciferasa. Además, cualquiera de los variantes estructurales preferidos mencionados anteriormente con relación a las fórmulas (II)-(III) también representa un aspecto preferido de este uso.

Puesto que el compuesto de la invención tiene una utilidad específica como agente de formación de imágenes *in vivo*, también se proporciona un método de formación de imágenes *in vivo*, que comprende administrar a un sujeto un compuesto según la invención, y una enzima luciferasa, o un polinucleótido que codifica una enzima luciferasa, y medir la emisión resultante de la acción de la enzima luciferasa sobre el compuesto. Además, cualquiera de los variantes estructurales preferidos mencionados anteriormente con relación a las fórmulas (II)-(III) también representa un aspecto preferido de este método.

El método puede comprender además generar una imagen basada en las mediciones obtenidas.

En un aspecto adicional de la invención, se proporciona un kit que comprende un compuesto según la invención y una enzima luciferasa o un polinucleótido que codifica una enzima luciferasa. Además, cualquiera de los variantes estructurales preferidos mencionados anteriormente con relación a las fórmulas (II)-(III) también representa un aspecto preferido de este kit.

5 La invención se describirá a continuación con más detalle solo como ejemplo y remitiéndose a las siguientes figuras.

#### Breve descripción de la figuras

#### Figura 1:

Espectros de fluorescencia del compuesto 9 (a menudo denominado "infraluciferina" o "iLH2") en diferentes condiciones de pH. Los espectros de fluorescencia del compuesto 9 demuestran que presenta unos espectros de fluorescencia de emisión, excitación y absorbancia desplazados hacia el rojo, comparado con la LH2 nativa. Además, cuando mayor es el pH, más se desplaza hacia el rojo la excitación y la emisión de fluorescencia, lo cual indica, potencialmente, una desprotonación y conjugación molecular en línea con el mecanismo basado en la carga de resonancia. De modo importante, el compuesto 9 parece tener unos máximos de emisión a diferentes longitudes de onda que dependen de las condiciones.

#### 15 Figura 2:

10

20

35

50

Espectros de bioluminiscencia de la  $LH_2$  nativa y el compuesto 9 ("análogo") con mutantes de color de Fluc (x5 termostable y x5 termostable rojos). Con un mutante que produce una emisión en el rojo con la  $LH_2$  nativa ( $\lambda$ max 620 nm), el compuesto 9 produce un color con un  $\lambda$ max 700 nm, que está desplazado más significativamente hacia el rojo que los compuestos de la técnica. Detalles experimentales de los espectros: se añadieron 50  $\mu$ l de Fluc o mutante rojo 5  $\mu$ M en Tris-acetato 100 mM, sulfato de magnesio 10 mM y ácido etilendiaminotetraacético 2 mM (EDTA) (pH 7,8) a 20  $\mu$ l de compuesto 9 500  $\mu$ M con 70  $\mu$ l de PBS. Los espectros se adquirieron en una máquina Luminoskan Ascent (Thermo Scientific, Waltham, MA, EE. UU.). Por el contrario, los análogos de luciferina conocidos en la técnica no muestran este desplazamiento hacia el rojo con mutantes de color de Fluc.

#### Figura 3:

Cinética de emisión de luz del compuesto 8 añadido a células Raji que expresan Fluc termoestable. Se observó que el éster metílico (Me) (compuesto 8) es enantioestable, y se descubrió que era activo en células de mamífero y bacterianas. La cinética de la saponificación en células de mamífero mostró un aumento lento (aproximadamente 2 min) hasta la actividad máxima. Detalles experimentales: se añadieron 20 μl del compuesto 8 1 mg/ml en tampón citrato (pH 5) a 10 μl que contenían 1 x 10<sup>6</sup> células Raji que expresan la Fluc termoestable, y la emisión de luz se registró a lo largo de 2 min en un instrumento Turner Designs TD20/20 (Turner Designs, CA, EE. UU.).

#### Figura 4

Rendimiento luminoso relativo de los compuestos 8 y 12 *in vitro* comparado con el éster etílico de D-LH<sub>2</sub> medido en un formador de imágenes de fotones basado en CCD intensificado con una buena sensibilidad a la luz roja. Se observó que la diferencia en el rendimiento luminoso con respecto al compuesto 8 era de solo aproximadamente 150 veces menor que el del éster etílico de LH<sub>2</sub>. Detalles experimentales: 10 μl de 1 mM de los compuestos se añadieron a 50 μg de esterasa de hígado de cerdo mezclada con ATP 5 mM y enzimas Fluc 0,25 μM. La luz se capturó en una máquina Photon Imager (Biospace Lab, París, Francia).

#### Figura 5:

Espectros de bioluminiscencia *in vitro* de mutantes de luciferasa x5 (serie izquierda) y x5 rojo (serie derecha) con el compuesto 9. Los espectros de bioluminiscencia *in vitro* se adquirieron mediante la formación de imágenes de las muestras a través de diferentes conjuntos de filtros y se confirmaron los dos colores del compuesto 9 con x5 y x5 rojo. Es posible formar imágenes por separado aplicando filtros de paso de banda de 550-600 nm y de paso largo de 830 nm, respectivamente. Detalles experimentales: se añadieron 10 µg de esterasa de hígado porcino purificada en tampón TEM a 1 ml del compuesto 8 disuelto en tampón TEM y se incubó a 37 °C durante 15 min antes del ensayo, según los detalles de la figura 1. La emisión de luz se capturó en un dispositivo Photon Imager durante 30 s empleando diferentes filtros de paso de banda (Biospace Labs, París, Francia).

#### Figura 6:

Transmisión relativa del éster etílico de LH<sub>2</sub> y el compuesto 12 a través de sangre con Fluc natural y mutantes de color rojo. Cuando se inyectaron células Raji que expresan x5 Fluc en ratones que contenían linfomas de células de Raji sistémicos, la luz producida, con la cual se formaron las imágenes, tenía una intensidad aproximadamente 8 veces menor que la LH<sub>2</sub> en la región de interés mostrada.

## Figura 7:

Rendimiento luminoso relativo del compuesto 12 (imagen en posición intermedia) in vivo comparado con D-

LH<sub>2</sub> (imagen derecha) medido en un formador de imágenes de fotones basado en CCD intensificado con una buena sensibilidad a la luz roja. La imagen izquierda es un control sin filtro y sin sustrato. El rendimiento luminoso *in vivo* potenciado, comparado con el correspondiente *in vitro*, puede ser explicado en parte por la mejor transmisión de la emisión de iLH<sub>2</sub> a través de la sangre, comparado con LH<sub>2</sub>.

#### 5 Figura 8:

10

15

Comparación de la emisión de luz del éster etílico de LH<sub>2</sub> (denominado "luciferina" en la figura) y el compuesto 8 (denominado "infraluciferina" en la figura) en un modelo de carcinoma de colon subcutáneo. En un modelo de xenoinjerto de carcinoma de colon en ratones atímicos (MFI NuNu), la luz de los ratones con injertos subcutáneos de células LS274T de tipo salvaje que expresan Fluc y que formaron imágenes con el éster etílico de iLH<sub>2</sub> fue aproximadamente 4 veces menor que con el compuesto 8. Cuando después las imágenes se formaron empleando un filtro 830LP (filtro de infrarrojo), el rendimiento luminoso del compuesto 8 fue aproximadamente 5 veces mayor que el del éster etílico de LH<sub>2</sub>. Detalles experimentales: los ratones fueron inoculados con 3 x 10<sup>6</sup> células LS174T que expresan Fluc de tipo salvaje y, 5 días después, fueron inyectados con 5 mg de éster etílico de LH<sub>2</sub> o el compuesto 8 y se formaron imágenes durante un total de 30 s en un instrumento Photon Imager (Biospace Labs, París, Francia). El filtro de infrarrojo utilizado era de 830 nm de paso largo (830 LP).

#### Figura 9:

Cuantificación de la emisión de luz del éster etílico de LH<sub>2</sub> y del compuesto 8 en un modelo de carcinoma de colon subcutáneo, sin filtro. Detalles experimentales: Se empleó el software M3 Vision (Biospace Labs, París, Francia) para procesar la emisión de luz.

#### 20 Figura 10:

Cuantificación de la emisión de luz del éster etílico de  $LH_2$  y del compuesto 8 en un modelo de carcinoma de colon subcutáneo, con filtro 830LP. Detalles experimentales: Se empleó el software M3 Vision (Biospace Labs, París, Francia) para procesar la emisión de luz.

#### Figura 11:

Espectro *in vivo* de emisión de luz del éster etílico de LH<sub>2</sub> (serie izquierda) y del compuesto 8 (serie derecha). Una mayor proporción de luz emitida con el compuesto 8 *in vivo* se situó en la porción del nIR del espectro electromagnético que con el éster etílico de LH<sub>2</sub>. Los detalles experimentales fueron iguales que en la figura 8, pero se adquirieron múltiples adquisiciones durante 2 min cada una a través de una serie de filtro y se corrigieron para la descomposición de la luz.

#### 30 Figura 12:

Emisión de luz del compuesto 17 (indicado como " $ssLH_2$ "). Se descubrió que este compuesto también generaba una emisión de luz con x5 Fluc purificada, aunque era menos intensa que la emisión con el compuesto 8. Los detalles experimentales fueron iguales en que la figura 4.

#### Figura 13:

Espectro de iCCD de x5 Fluc con el compuesto 17. La emisión *in vitro* alcanzó un pico entre 630-680 nm. Los detalles experimentales fueron iguales en que la figura 5.

#### Figura 14:

Espectros de fluorescencia del compuesto 8 frente al compuesto 17. Los espectros de fluorescencia demuestran que el compuesto 17 estaba todavía más desplazado hacia el rojo que el compuesto 8 en sus propiedades de excitación y emisión de fluorescencia, y que también tenía acceso a las dos formas de color (dependiendo del pH). Los detalles experimentales fueron iguales en que la figura 1.

#### **Ejemplos**

40

6-hidroxi-2-(2-(4S-carboxi-4, 5-dihidrotiazol-2-il)etenil)benzotiazol (9)

El aminoácido D-TrtCysOMe se sintetizó empleando un método análogo al desarrollado para la L-cisteína por Rudolph *et al.*, J. Med. Chem., 2001, 44, 619, y fue protegido como el éster metílico empleando cloruro de tionilo (Mays *et al.*, Tetrahedron Lett., 2007, 48, 4579).

### 5 6-benzoxi-2-bromobenzotiazol (2)

10

Una disolución de **1** (640 mg, 2,78 mmol) y BnBr (0,38 ml, 3,33 mmol) en acetona (50 ml) se trató con  $K_2CO_3$  (1,09 g, 7,77 mmol) y se agitó a temperatura ambiente durante 16 h. Después de esto la reacción se filtró y se concentró al vacío. Se logró la purificación mediante una cromatografía en columna de resolución rápida (EtOAc al 5%/éter de petróleo) para producir **2** (759 mg, 85%) como un sólido blanco, p.f. 58-60 °C;  $R_f$  = 0,61 (EtOAc al 20%/éter de petróleo);  $R_f$   $R_f$ 

320 (100%, M $^+$ +H), 321 (18%), 272 (7%), 272 (7%); HRMS C<sub>14</sub>H<sub>11</sub>BrNOS calc. 319,9745, encontrado 319,9730; Anal. calc. para C<sub>14</sub>H<sub>10</sub>BrNOS: C, 52,51; H, 3,15; N, 4,37. Encontrado: C, 52,19; H, 3,03; N, 4,33%.

6-benzoxi-2-formilbenzotiazol (3)

Una disolución de 2 (120 mg, 0,374 mmol) en THF (4 ml) se enfrió hasta -78 °C, se trató con <sup>n</sup>BuLi (1,93 M, 0,22 ml, 0,412 mmol) (cambio de color desde incoloro hasta amarillo pálido) y se agitó a -78 °C durante 15 min. Después de esto se añadió DMF (0,12 ml, 1,55 mmol) gota a gota y la disolución resultante se agitó a -78 °C durante 1 h. La reacción se extinguió con NaHCO<sub>3</sub> (ac.) (2 ml), se retroextrajo con EtOAc (2 x 10 ml), se separó y se concentró al vacío. Se logró la purificación mediante una cromatografía en columna de resolución rápida (EtOAc al 5-10%/éter de petróleo) para producir 3 (98 mg, 96%) como un sólido blanco, p.f. 112-114 °C; R<sub>f</sub> = 0,51 (EtOAc al 20%/éter de petróleo); IR v<sub>max</sub> 3035 (v<sub>CH</sub>), 2854 (v<sub>CH</sub>), 1677 (v<sub>CO</sub>), 1598, 1547, 1489, 1455, 1380, 1269, 1192, 1120, 999 cm<sup>-1</sup>; RMN de <sup>1</sup>H (CDCl<sub>3</sub>) δ 5,19 (2H, s, OCH<sub>2</sub>Ar), 7,30 (1H, dd, J = 9,1, 2,5, Ar*H*), 7,38-7,48 (7H, m, Ar*H*), 8,12 (1H, d, J = 9,1, Ar*H*), 10,1 (1H, s, C(O)*H*); RMN de <sup>13</sup>C (CDCl<sub>3</sub>) δ 70,8 (CH<sub>2</sub>), 105,0 (CH), 118,8 (CH), 126,7 (CH), 127,6 (CH), 128,5 (CH), 128,9 (CH), 136,0 (C), 138,6 (C), 148,5 (C), 159,5 (C), 163,2 (C), 185,2 (CH); m/z (ES+) 270 (100%, M\*+H), 210 (6%), 132 (14%, M\*+H-C(O)H, OBn); HRMS C<sub>15</sub>H<sub>12</sub>NO<sub>2</sub>S calc. 270,0589, encontrado 270,0585; Anal. calc. para C<sub>15</sub>H<sub>11</sub>NO<sub>2</sub>S: C, 66,89; H, 4,12; N, 5,20. Encontrado: C, 66,62; H, 4,04; N, 5,10%.

Éster etílico del ácido (E)-3-(6-benzoxibenzotiazol-2-il)acrílico (4)

Una disolución de **3** (568 mg, 2,10 mmol) en PhMe (10 ml) se trató con (carbetoximetilen)trifenilfosforano (2,16 g, 6,31 mmol) y se calentó a reflujo durante 3 h. Después de esto la reacción se enfrió hasta la temperatura ambiente y se concentró al vacío. Se logró la purificación mediante una cromatografía en columna de resolución rápida (EtOAc al 10%/éter de petróleo) para producir **4** (660 mg, 92%) como un sólido de color amarillo pálido, p.f. 79-80 °C;  $R_f$  = 0,38 (EtOAc al 20%/éter de petróleo);  $IR \ V_{max} \ 3063 \ (V_{CH}), \ 3038 \ (V_{CH}), \ 2979 \ (V_{CH}), \ 1703 \ (V_{CO}) \ 1595, \ 1551, \ 1488, \ 1445, \ 1386, \ 1368, \ 1254, \ 1106, \ 1018, \ 958 \ cm^{-1}; \ 1,36 \ (3H, t, J = 7,1, \ CH_2CH_3), \ 4,31 \ (2H, q, J = 7,1, \ CH_2CH_3), \ 5,16 \ (2H, s, OCH_2Ar), \ 6,71 \ (1H, d, J = 15,9, CHC(O)OEt), \ 7,20 \ (1H, dd, J = 9,0, 2,5, ArH), \ 7,35-7,48 \ (6H, m, ArH), \ 7,85 \ (1H, d, J = 15,9, CHC(N)S), \ 7,96 \ (1H, d, J = 9,0, ArH); \ RMN \ de^{13}C \ (CDCl_3) \ \delta \ 14,3 \ (CH_3), \ 61,2 \ (CH_2), \ 70,7 \ (CH_2), \ 105,2 \ (CH), \ 117,3 \ (CH), \ 124,7 \ (CH), \ 125,1 \ (CH), \ 127,6 \ (CH), \ 128,3 \ (CH), \ 128,8 \ (CH), \ 136,4 \ (C), \ 136,8 \ (C), \ 137,0 \ (CH), \ 148,7 \ (C), \ 158,0 \ (C), \ 161,2 \ (C), \ 165,8 \ (C); \ m/z \ (ES+) \ 340 \ (100\%, \ M^++H), \ 339 \ (7\%, \ M^+), \ 294 \ (7\%, \ M^++H-OEt), \ 91 \ (7\%, \ PhCH_2); \ HRMS \ C_{19}H_{18}NO_3S \ calc. \ 340,1007, \ encontrado \ 340,1003; \ Anal. \ calc. \ para \ C_{19}H_{17}NO_3S: \ C, \ 67,24; \ H, \ 5,05; \ N, \ 4,13. \ Encontrado: \ C, \ 67,04; \ H, \ 5,02; \ N, \ 4,09\%.$ 

Ácido (E)-3-(6-benzoxibenzotiazol-2-il)acrílico (5)

20

25

30

35

Una suspensión de **4** (500 mg, 1,47 mmol) en <sup>i</sup>PrOH (18,3 ml) se trató con NaOH (4,70 ml, 1,0 M) y se agitó a temperatura ambiente durante la noche. Se añadieron 10 ml más de  $H_2O$  para que todo el precipitado se disolviese, y la disolución resultante se acidificó hasta pH 1 con HCl (1 M). El precipitado amarillo se aisló mediante filtración y se lavó con  $H_2O$  (30 ml) para producir **5** (458 mg, cuant.) como un polvo amarillo fino, p.f. 174-176 °C; Rf = 0,40 (MeOH al 10%/DCM); IR  $v_{max}$  3031 ( $v_{CH}$ ), 2866 ( $v_{CH}$ ), 2543 ( $v_{CH}$ ), 1694 ( $v_{CO}$ ), 1599, 1558, 1497, 1451, 1312, 1259,

1205, 1051, 1013, 966 cm<sup>-1</sup>; RMN de  $^{1}$ H (DMSO)  $\delta$  15,20 (2H, s, OC $H_2$ Ar), 6,72 (1H, d, J = 15,9, CHC(O)OEt), 7,23 (1H, dd, J = 9,0, 2,5, ArH), 7,32-7,50 (5H, m, ArH), 7,69 (1H, d, J = 15,9, CHC(N)S), 7,83 (1H, d, J = 2,4, ArH), 7,97 (1H, d, J = 9,0, ArH); RMN de  $^{13}$ C (DMSO)  $\delta$  69,9 (CH<sub>2</sub>), 105,8 (CH), 117,2 (CH), 124,2 (CH), 126,0 (CH), 127,9 (CH), 128,0 (CH), 135,9 (CH), 136,6 (C), 136,6 (C), 147,9 (C), 157,4 (C), 160,8 (C), 166,4 (C); m/z (CI) 402 (26%), 312 (100%, M $^+$ +H), 294 (11%, M $^+$ +H-OH), 91 (5%, PhCH<sub>2</sub>); HRMS C<sub>17</sub>H<sub>14</sub>NO<sub>3</sub>S calc. 312,0694, encontrado 312,0691.

2-((E)-3-(6-benzoxibenzotiazol-2-il)acrilamido)-3-(tritiltio)proponoato de D-(metilo) (6)

$$BnO$$
 $S$ 
 $O$ 
 $CO_2Me$ 

Una disolución de 5 (134 mg, 0,424 mmol) en DMF (4,2 ml) se trató con Et<sub>3</sub>N (70 µl, 1,02 mmol) y se enfrió hasta to 0 °C. La disolución se trató con una disolución de aminoácido (192 mg, 0,508 mmol) en DCM (2 ml), seguido de una disolución de BOP (231 mg, 0,508 mmol) en DCM (2,2 ml) y la disolución resultante se agitó a 0 °C durante 2 h. Después de esto la mezcla de reacción se extinguió con NaHCO<sub>3</sub> saturado (ac.) (2 ml) y se suspendió en EtOAc (10 ml), la capa acuosa se retroextrajo empleando EtOAc (2 x 5 ml), la capa orgánica se secó sobre MgSO<sub>4</sub>, se filtró y se concentró al vacío. Se logró la purificación mediante una cromatografía en columna de resolución rápida (EtOAc al 20%/éter de petróleo) para producir 6 (220 mg, 80%) como un sólido de color amarillo, p.f. 83-86 °C; R<sub>f</sub> = 0,28 (EtOAc al 30%/éter de petróleo); [α]<sub>D</sub> +62,6 (c 0,95, CHCl<sub>3</sub>); un análisis de HPLC CSP (Chiracel OD-H (150 x 4,6 mm), eluyente: hexano: PrOH, 70:30, flujo: 0,5 ml/min, 14 bares) determinó 98% de ee [t<sub>R</sub> (minoritario) = 43,07 min,  $t_R$  (mayoritario) = 26,59 min]; IR  $v_{max}$  1741 ( $v_{CO}$ ), 1662, 1627, 1596, 1488, 1446, 1346, 1319, 1260, 1196, 1051, 1001, 966 cm<sup>-1</sup>; RMN de <sup>1</sup>H (CDCl<sub>3</sub>)  $\delta$  2,73 (1H, dd, J = 12,7, 4,6, CH<sub>2</sub>STrt), 2,82 (1H, dd, J = 12,7, 5,6, CH<sub>2</sub>STrt), 3,76 (3H, s, OC $H_3$ ), 4,76 (1H, dt, J = 7,8, 5,2, CHC $H_2$ ), 5,17 (2H, s, OC $H_2$ Ph), 6,09 (1H, d, J = 7,8, NH), 6,65 (1H, d, J = 15,5, CHC(O)N), 7,20-7,49 (22H, m, ArH), 7,73 (1H, d, J = 15,5, CHC(N)S), 7,96 (1H, d, J = 9,0, ArH); RMN de  $^{13}$ C (CDCl<sub>3</sub>) δ 33,8 (CH<sub>2</sub>), 51,4 (CH), 52,9 (CH<sub>3</sub>), 67,2 (C), 70,7 (CH<sub>2</sub>), 105,2 (CH), 117,2 (CH), 124,6 (CH), 126,8 (CH), 127,1 (CH), 127,6 (CH), 128,1 (CH), 128,3 (CH), 128,8 (CH), 129,6 (CH), 134,2 (CH), 136,4 (C), 144,3 (C), 154,2 (C), 157,9 (C), 161,4 (C), 163,8 (C), 170,7 (C); m/z (ES+) 693 (96%, M+Na), 595 (9%), 244 (18%), 243 (100%, M+ STrt, CO<sub>2</sub>Me, Bn, H), 228 (8%), 165 (22%); HRMS C<sub>40</sub>H<sub>34</sub>N<sub>2</sub>O<sub>4</sub>NaS<sub>2</sub> calc. 693,1858, encontrado 693,1855.

6-benzoxi-2-(2-(4S-metoxicarbonil-4,5-dihidrotiazol-2-il)etenil)benzotiazol (7)

10

15

20

25

30

35

40

45

Una disolución de  $Ph_3PO$  (386 mg, 1,40 mmol) en DCM (10 ml) se enfrió hasta 0 °C en un baño de hielo y se trató con  $Tf_2O$  (0,160 ml, 0,874 mmol) que se añadió gota a gota a lo largo de 5 min. La disolución resultante se agitó a 0 °C durante 30 min y después se añadió gota a gota una disolución de **6** (220 mg, 0,329 mmol) en DCM (4 ml) a lo largo de 5 min. La reacción se agitó a 0 °C durante 10 min y después se extinguió con tampón fosfato (4 ml). Se extrajo en DCM (3 x 10 ml) y se separó. La capa orgánica se secó sobre  $MgSO_4$ , se filtró y se concentró al vacío. Se logró la purificación mediante una cromatografía en columna de resolución rápida (EtOAc al 20-40%/éter de petróleo) para producir **7** (88 mg, 65%) como un sólido de color amarillo pálido, p.f. 98-100 °C;  $R_f$  = 0,32 (EtOAc al 40%/éter de petróleo);  $R_f$   $R_f$ 

Un análisis de HPLC CSP determinó un ee de 45-95% que depende de la escala de reacción y de la pureza de  $Tf_2O$ . Puede lograrse la pureza óptica disolviendo **7** en MeCN y concentrando al vacío hasta que aparece un precipitado. La filtración y la concentración del filtrado produce **7**. [ $\alpha$ ]D -28,4 (c 0,91 , CHCl<sub>3</sub>); un análisis de HPLC CSP (Chiracel OD-H, eluyente: hexano: PrOH, 70:30, flujo: 0,5 ml/min, 14 bares) determinó > 98% de ee [ $t_R$  (minoritario) = 21,8 min,

 $t_R$  (mayoritario) = 30,7 min].

6-hidroxi-2-(2-(4S-metoxicarbonil-4,5-dihidrotiazol-2-il)etenil)benzotiazol (8)

Una disolución de **7** (55 mg, 0,133 mmol) en DCM (2 ml) se enfrió hasta -78 °C en un baño de acetona/CO<sub>2</sub> (s) y se trató con pentametilbenceno (110 mg, 0,580 mmol), seguido de BCl<sub>3</sub> (0,39 ml, 0,399 mmol, 1 M en DCM) añadido gota a gota a lo largo de 5 min. La reacción se agitó a -78 °C durante 20 min y después se extinguió con tampón fosfato (2 ml). Se extrajo en DCM (3 x 5 ml) y se separó. La capa orgánica se secó sobre MgSO<sub>4</sub>, se filtró y se concentró al vacío. Se logró la purificación mediante una cromatografía en columna de resolución rápida (EtOAc al 40-100%/éter de petróleo) para producir **8** (34 mg, 79%, 98% b.r.s.m) como un sólido de color amarillo pálido, p.f. 163-165 °C; R<sub>f</sub> = 0,13 (EtOAc al 40%/éter de petróleo); IR v<sub>max</sub> 3210 (v<sub>OH</sub>), 3043 (v<sub>CH</sub>), 2954, 1731 (v<sub>CO</sub>), 1632, 1595, 1558, 1480, 1435, 1314, 1199, 1116, 1022, 949 cm<sup>-1</sup>; RMN de <sup>1</sup>H (MeOD) δ 3,70 (1H, dd, J = 20,1, 11,2, CH<sub>2</sub>S), 3,72 (1H, dd, J = 20,8, 11,2, CH<sub>2</sub>S), 3,81 (3H, s, OCH<sub>3</sub>), 5,33 (1H, t, J = 9,0, CHCO<sub>2</sub>Me), 7,03 (1H, dd, J = 8,9, 2,5, Ar*H*), 7,29 (1H, d, J = 16,1, C*H*C(N)S), 7,31 (1H, d, J = 2,3, Ar*H*), 7,41 (1H, d, J = 16,1, C*H*C(N)S), 7,82 (1H, d, J = 8,9, Ar*H*); RMN de <sup>13</sup>C (MeOD) δ 35,7 (CH<sub>2</sub>), 53,2 (CH<sub>3</sub>), 79,0 (CH), 107,4 (CH), 118,1 (CH), 125,1 (CH), 128,9 (CH), 136,0 (CH), 138,1 (C), 148,6 (C), 158,5 (C), 162,2 (C), 171,6 (C), 172,2 (C).

Un análisis de HPLC CSP determinó un ee de 65-90% que depende de la escala de reacción y de la pureza de BCl<sub>3</sub>. Puede lograrse la pureza óptica disolviendo **8** en MeCN y concentrando al vacío hasta que aparece un precipitado. La filtración y la concentración del filtrado produce **8**. Análisis de HPLC CSP (Chiracel AD, eluyente: hexano:  $^{i}$ PrOH, 70:30, flujo: 0,5 ml/min, 23 bar) > 98% de ee [ $^{t}$ R (mayoritario) = 6,35 min,  $^{t}$ R (minoritario) = 9,90 min].

6-hidroxi-2-(2-(4S-carboxi-4,5-dihidrotiazol-2-il)etenil)benzotiazol (9)

Una disolución de **8** en tampón fosfato (1 mg/ml) se trató con PLE (5 µg por 1 mg de 8) y se incubó a 37 °C durante 24 h. Después de esto se empleó el éster saponificado **9** directamente sin aislamiento.

Síntesis de 6-hidroxi-2-(2-(4S-etoxicarbonil-4,5-dihidrotiiazol-2-il)etenil)benzotiazol (12)

25

2-((E)-3-(6-benzoxibenzotiazol-2-il)acrilamido)-3-(tritiltio)proponoato de D-(etilo) (10)

BnO 
$$\sim$$
 STr  $\sim$  CO<sub>2</sub>Et

Una disolución de **5** (239 mg, 0,755 mmol) en DMF (7,6 ml) se trató con Et<sub>3</sub>N (0,124 ml, 1,82 mmol) y se enfrió hasta 0 °C. La disolución se trató con una disolución de aminoácido (354 mg, 0,908 mmol) en DCM (3 ml), seguido de una disolución de BOP (414 mg, 0,908 mmol) en DCM (4,6 ml) y la disolución resultante se agitó a 0 °C durante 2 h. Después de esto la mezcla de reacción se extinguió con NaHCO<sub>3</sub> saturado (ac.) (5 ml) y se suspendió en EtOAc (20 ml), la capa acuosa se retroextrajo empleando EtOAc (2 x 10 ml), la capa orgánica se secó sobre MgSO<sub>4</sub>, se filtró y se concentró al vacío. Se logró la purificación mediante una cromatografía en columna de resolución rápida (EtOAc al 20%/éter de petróleo) para producir **10** (422 mg, 82%) como un sólido de color naranja, p.f. 75-78 °C; R<sub>f</sub> = 0,23 (EtOAc al 30%/éter de petróleo); [ $\alpha$ ]<sub>D</sub> +82,0 (c 1,05, CHCl<sub>3</sub>); un análisis de HPLC CSP (Chiracel AD (300 x 4,6 mm), eluyente: hexano: PrOH, 60:40, flujo: 1 ml/min, 26 bares) determinó > 99% de ee [t<sub>R</sub> (minoritario) = 16,52 min, t<sub>R</sub> (mayoritario) = 9,67 min]; IR v<sub>max</sub> 1735 (v<sub>CO</sub>), 1667, 1628, 1596, 1488, 1446, 1371, 1344, 1260, 1189, 1050, 1019, 966 cm<sup>-1</sup>; RMN de <sup>1</sup>H (CDCl<sub>3</sub>)  $\delta$  1,27 (3H, t, J = 7,2, CH<sub>2</sub>CH<sub>3</sub>), 2,70 (1H, dd, J = 12,6, 4,5, CH<sub>2</sub>STrt), 2,80 (1H, dd, J = 12,6, 5,5, CH<sub>2</sub>STrt), 4,22 (2H, m, CH<sub>2</sub>CH<sub>3</sub>), 4,75 (1H, dt, J = 7,7, 4,8, CHCH<sub>2</sub>), 5,17 (2H, s, OCH<sub>2</sub>Ph), 6,14 (1H, d, J = 7,8, NH), 6,68 (1H, d, J = 15,5, CHC(O)N), 7,20-7,49 (22H, m, ArH), 7,74 (1H, d, J = 15,5, CHC(N)S), 7,96 (1H, d, J = 9,0, ArH); RMN de <sup>13</sup>C (CDCl<sub>3</sub>)  $\delta$  14,3 (CH<sub>3</sub>), 34,0 (CH<sub>2</sub>), 51,5 (CH), 62,2 (CH<sub>2</sub>), 67,1 (C), 70,7 (CH<sub>2</sub>), 105,2 (CH), 117,2 (CH), 124,6 (CH), 126,9 (CH), 127,1 (CH), 127,6 (CH), 128,4 (CH), 128,9 (CH), 129,6 (CH), 134,2 (CH), 136,4 (C), 148,8 (C), 157,9 (C), 161,5 (C), 163,8 (C), 170,2 (C); m/z (ES+) 707 (100%, M<sup>+</sup>+Na), 685 (5%, M<sup>+</sup>+H), 338 (27%, M<sup>+</sup>+H-STrt, CO<sub>2</sub>Et), 243 (100%), 228 (23%), 165 (59%); HRMS C<sub>4</sub>1H<sub>36</sub>NaN<sub>2</sub>O<sub>4</sub>S<sub>2</sub> calc. 707,2014, encontrado 707,2039; Anal. calc. pa

6-benzoxi-2-(2-(4S-etoxicarbonil-4,5-dihidrotiazol-2-il)etenil)benzotiazol (11)

5

10

15

20

25

30

35

40

Una disolución de Ph<sub>3</sub>PO (955 mg, 3,45 mmol) en DCM (26 ml) se enfrió hasta 0 °C en un baño de hielo y se trató con Tf<sub>2</sub>O (0,39 ml, 2,16 mmol) que se añadió gota a gota a lo largo de 5 min. La disolución resultante se agitó a 0 °C durante 30 min y después se añadió gota a gota una disolución de **10** (544 mg, 0,797 mmol) en DCM (8 ml) a lo largo de 5 min. La reacción se agitó a 0 °C durante 10 min y después se extinguió con tampón fosfato (10 ml). Se extrajo en DCM (3 x 15 ml) y se separó. La capa orgánica se secó sobre MgSO<sub>4</sub>, se filtró y se concentró al vacío. Se logró la purificación mediante una cromatografía en columna de resolución rápida (EtOAc al 20-40%/éter de petróleo) para producir 11 (250 mg, 74%) como un sólido de color amarillo pálido, p.f. 114-117 °C; R<sub>f</sub> = 0,39 (EtOAc al 40%/éter de petróleo); IR v<sub>max</sub> 2977 (v<sub>CH</sub>), 1729 (v<sub>CO</sub>), 1597, 1555, 1479, 1453, 1379, 1316, 1261, 1222, 1199, 1049, 1014, 947 cm<sup>-1</sup>; RMN de <sup>1</sup>H (CDCl3)  $\delta$  1,36 (3H, t, J = 6,6, CH<sub>2</sub>CH<sub>3</sub>), 3,63 (1H, dd, J = 11,0, 9,4, CH<sub>2</sub>S), 3,68 (1H, dd, J = 11,0, 9,4, CH<sub>2</sub>S), 4,27-4,38 (2H, m, CH<sub>2</sub>CH<sub>3</sub>), 5,16 (2H, s, OCH<sub>2</sub>Ar), 5,24 (1H, t, J = 9,3, CHCO<sub>2</sub>Et), 7,19 (1H, dd, J = 9,0, 2,5, ArH), 7,30-7,49 (8H, m, ArH), 7,93 (1H, d, J = 9,0, ArH); RMN de <sup>13</sup>C (CDCl<sub>3</sub>)  $\delta$  14,3 (CH<sub>3</sub>), 35,1 (CH<sub>2</sub>), 62,2 (CH<sub>2</sub>), 70,7 (CH<sub>2</sub>), 78,5 (CH), 105,2 (CH), 117,2 (CH), 124,6 (CH), 127,6 (CH), 128,4 (CH), 128,8 (CH), 129,2 (CH), 135,0 (CH), 136,4 (C), 136,6 (C), 148,7 (C), 158,0 (C), 162,1 (C), 169,2 (C), 170,5 (C); m/z (ES+) 425 (100%, M<sup>+</sup>+H), 334 (25%, M<sup>+</sup>-Bn), 293 (11%); HRMS C<sub>22</sub>H<sub>21</sub>N<sub>2</sub>O<sub>3</sub>S<sub>2</sub> calc. 425,0994, encontrado 425,0998.

Un análisis de HPLC CSP determinó un ee de 82-92% que depende de la escala de reacción y de la pureza de  $Tf_2O$ . Puede lograrse la pureza óptica disolviendo **11** en MeCN y concentrando al vacío hasta que aparece un precipitado. La filtración y la concentración del filtrado produce **11**. Un análisis de HPLC CSP (Chiracel AD, eluyente: hexano: PrOH, 60:40, flujo: 1 ml/min, 26 bares) determinó > 98% de ee [ $t_R$  (minoritario) = 23,60 min,  $t_R$  (mayoritario) = 11,19 min].

6-hidroxi-2-(2-(4S-etoxicarbonil-4,5-dihidrotiazol-2-il)etenil)benzotiazol (12)

Una disolución de **11** (67 mg, 0,158 mmol) en DCM (2,7 ml) se enfrió hasta -78 °C en un baño de acetona/CO<sub>2</sub> (s) y se trató con pentametilbenceno (130 mg, 0,788 mmol), seguido de BCl<sub>3</sub> (0,46 ml, 0,472 mmol, 1 M en DCM) añadido gota a gota a lo largo de 5 min. La reacción se agitó a -78 °C durante 20 min y después se extinguió con tampón fosfato (2 ml). Se extrajo en DCM (3 x 5 ml) y se separó. La capa orgánica se secó sobre MgSO<sub>4</sub>, se filtró y se concentró al vacío. Se logró la purificación mediante una cromatografía en columna de resolución rápida (EtOAc al 40-100%/éter de petróleo) para producir **12** (38 mg, 72%, 96% b.r.s.m) como un sólido de color amarillo pálido, p.f. 155-157 °C;  $R_f = 0,11$  (EtOAc al 40%/éter de petróleo);  $R_f = 0,11$  (

Un análisis de HPLC CSP determinó un ee de 80-92% que depende de la escala de reacción y de la pureza de BCl<sub>3</sub>. Puede lograrse la pureza óptica disolviendo **12** en MeCN y concentrando al vacío hasta que aparece un precipitado. La filtración y la concentración del filtrado produce **12**. Análisis de HPLC CSP (Chiracel AD, eluyente: hexano: PrOH, 70:30, flujo: 1,0 ml/min, 23 bares) > 98% de ee [t<sub>R</sub> (mayoritario) = 6,85 min, t<sub>R</sub> (minoritario) = 9,30 min].

20 Síntesis de 6-hidroxi-2-(4-1E,3E-(4S-etoxicarbonil-4,5-dihidrotiazol-2-il)buta-2,4-dienil)benzotiazol (17)

5

10

Una disolución de **3** (100 mg, 0,370 mmol) en DCM (2 ml) se trató con (trifenilfosforariliden)acetaldehído (124 mg, 0,407 mmol) y se agitó a temperatura ambiente durante 2 h. La reacción se extinguió con NaHCO<sub>3</sub> saturado (ac.) (2 ml), se separó y se retroextrajo empleando DCM (2 x 5 ml). Las capas orgánicas se secaron sobre MgSO<sub>4</sub>, se filtraron y se concentraron al vacío. Se logró la purificación mediante una cromatografía en columna de resolución rápida (EtOAc al 5%/éter de petróleo) para producir **13** (76 mg, 69%) como un sólido de color amarillo,

p.f. 124-126 °C;  $R_f$  = 0,27 (EtOAc al 20%/éter de petróleo);  $IR v_{max}1674 (v_{CO})$ , 1589, 1555, 1481, 1464, 1389, 1264, 1245, 1224, 1201, 1112, 1095, 1052, 1003, 992, 966 cm<sup>-1</sup>;  $RMN de ^1H (CDCl_3) \delta 5,17 (2H, s, OCH_2Ar)$ , 6,89 (1H, dd, J = 16,0, 7,6, CHC(O)H), 7,23 (1H, dd, J = 9,0, 2,5, RH), 7,34-7,50 (6H, m, RH), 7,72 (1H, d, J = 16,0, CHC(N)S), 8,01 (1H, d, J = 9,0, RH), 9,79 (1H, d, J = 7,2, RH);  $RMN de ^{13}C (CDCl_3) \delta 70,8 (CH_2)$ , 105,0 (CH), 117,8 (CH), 125,2 (CH), 127,6 (CH), 128,4 (CH), 128,9 (CH), 133,5 (CH), 136,2 (C), 137,4 (C), 143,8 (CH), 148,9 (C), 158,5 (C), 160,8 (C), 192,6 (CH); RH); RH0, 220 (21%, RH0+2H-Ph), 217 (12%, RH0+1H, Ph); RH1, RH2, RH1, RH1, RH2, RH1, RH1, RH2, RH1, RH2, RH3, RH4, RH4, RH4, RH5, RH6, R

Ácido (E)-5-(6-benzoxibenzotiazol-2-il)-2,4-pentadienoico (14)

15

20

25

5

10

Una disolución de ácido dietilfosfonoacético (80 mg, 0,411 mmol) en THF (4 ml) se enfrió hasta 0 °C y se trató con NaH (8 mg, 0,333 mmol, 95%), con emisión de gas. La disolución se agitó a 0 °C durante 15 min y después se trató con una disolución de **13** (122 mg, 0,411 mmol) en THF (1 ml), que se añadió gota a gota. La disolución roja resultante se agitó a 0 °C durante 30 min y después se dejó que se calentase hasta la temperatura ambiente durante 1 h. Después de esto la disolución se concentró, se suspendió en  $H_2O$ , se acidificó (HCl 1 M) y el precipitado de color marrón resultante se filtró para producir **14** (119 mg, 86%) como un sólido de color marrón, p.f. 226-228 °C;  $R_f = 0.18$  (MeOH al 5%/DCM); IR  $v_{max}$  1678 ( $v_{CO}$ ), 1610, 1594, 1553, 1482, 1449, 1362, 1321, 1269, 1241, 1208, 1181, 1149, 1058, 1021, 1002, 935 cm<sup>-1</sup>; RMN de <sup>1</sup>H (DMSO)  $\delta$  5,19 (2H, s, OC $H_2$ Ar), 6,28 (1H, d, J = 14,9, CHC(O)OH), 7,20 (1H, dd, J = 8,9, 2,5, ArH), 7,32-7,50 (8H, m, 3 x CHCH, 5 x ArH), 7,79 (1H, d, J = 2,5, ArH), 8,01 (1H, d, J = 8,9, ArH); RMN de <sup>13</sup>C (DMSO)  $\delta$  69,9 (CH<sub>2</sub>), 105,9 (CH), 116,8 (CH), 123,7 (CH), 126,3 (CH), 128,0 (CH), 128,5 (CH), 131,9 (CH), 133,9 (CH), 136,1 (C), 136,7 (C), 142,3 (CH), 148,1 (C), 157,0 (C), 162,8 (C), 167,3 (C); m/z (ES<sup>+</sup>) 338 (100%, M<sup>+</sup>+H), 320 (15%, M<sup>+</sup>-OH), 247 (19%, M<sup>+</sup>-H, Ph); HRMS C<sub>19</sub>H<sub>16</sub>NO<sub>3</sub>S calc. 338,0851, encontrado 338,0845.

2-((2E,4E-5-(6-benzoxibenzotiazol-2-ill)penta-2,4-dienoilamido)-3-(tritiltio)propononato de metilo (15)

30

35

Una disolución de **14** (118 mg, 0,350 mmol) en DMF (3,5 ml) se trató con Et<sub>3</sub>N (58  $\mu$ l, 0,841 mmol) y se enfrió hasta 0 °C. La disolución se trató con una disolución de aminoácido (158 mg, 0,419 mmol) en DCM (1,5 ml), seguido de una disolución de BOP (191 mg, 0,419 mmol) en DCM (2,0 ml) y la disolución resultante se calentó hasta la temperatura ambiente y se agitó durante 16 h. Después de esto la mezcla de reacción se extinguió con NaHCO<sub>3</sub> saturado (ac.) (5 ml), se separó y la capa acuosa se retroextrajo empleando DCM (2 x 10 ml), la capa orgánica se secó sobre MgSO<sub>4</sub>, se filtró y se concentró al vacío. Se logró la purificación mediante una cromatografía en columna de resolución rápida (EtOAc al 20%/éter de petróleo) para producir **15** (128 mg, 53%) con un aceite de color naranja. R<sub>f</sub> = 0,40 (EtOAc al 40%/éter de petróleo);  $[\alpha]_D$  +56,3 (c 1,00, CHCl<sub>3</sub>);  $[R V_{max}]_{max}$  3057 ( $V_{CH}$ ), 1734 ( $V_{CO}$ ), 1659, 1597,

1555, 1485, 1444, 1317, 1244, 1259, 1203, 1177, 1051, 996 cm<sup>-1</sup>; RMN de  $^{1}$ H (CDCl<sub>3</sub>)  $\delta$  2,71 (1H, dd, J = 12,6, 4,7, C $^{2}$ CH<sub>2</sub>S), 2,76 (1H, dd, J = 12,6, 5,5, C $^{2}$ CH<sub>2</sub>S), 3,74 (3H, s, OC $^{2}$ CH<sub>3</sub>), 4,68 (1H, dt, J = 7,6, 5,2, C $^{2}$ CHCO<sub>2</sub>Me), 5,16 (2H, s, OC $^{2}$ CH<sub>2</sub>Ar), 6,05 (1H, d, J = 7,7, C(O)N $^{2}$ H), 6,09 (1H, d, J = 14,9, C $^{2}$ C(O)NH), 7,10-7,50 (25H, m, 3 x C $^{2}$ CHCH, 22 x Ar $^{2}$ H), 7,92 (1H, d, J = 8,9, Ar $^{2}$ H); RMN de  $^{13}$ C (CDCl<sub>3</sub>)  $\delta$  33,9 (CH<sub>2</sub>), 51,3 (CH<sub>3</sub>), 52,8 (CH), 67,1 (C), 70,7 (CH<sub>2</sub>), 105,3 (CH), 116,8 (CH), 124,1 (CH), 126,9 (CH), 127,0 (CH), 127,6 (CH), 128,1 (CH), 128,3 (CH), 128,8 (CH), 129,6 (CH), 131,9 (CH0, 133,2 (CH), 136,3 (C), 136,5 (C), 139,9 (CH), 144,3 (C), 148,7 (C), 157,6 (C), 163,1 (C), 164,7 (C), 170,9 (C); m/z (ES<sup>+</sup>) 719 (100%, M<sup>+</sup>+Na), 697 (12%, M<sup>+</sup>+H), 643 (10%), 244 (22%, M<sup>+</sup>-Bn, C(CO<sub>2</sub>Me)(CH<sub>2</sub>STrt)), 243 (78%, M<sup>+</sup>-H, Bn, C(CO<sub>2</sub>Me)(CH<sub>2</sub>STrt)), 228 (12%, Trt), 165 (32%); HRMS C<sub>42</sub>H<sub>36</sub>N<sub>2</sub>O<sub>4</sub>NaS<sub>2</sub> calc. 719,2014, encontrado 719,1990.

6-benzoxi-2-(4-1E,3E-(4S-metoxicarbonil-4,5-dihidrotiazol-2-il)buta-2,4-dienil)benzotiazol (16)

5

10

15

20

25

30

35

40

6-hidroxi-2-(4-1E,3E-(4S-metoxicarbonil-4,5-dihidrotiazol-2-il)buta-2,4-dienil)benzotiazol (17)

Una disolución de **16** (40 mg, 0,0916 mmol) en DCM (1,5 ml) se enfrió hasta -78 °C en un baño de acetona/CO<sub>2</sub> (s) y se trató con pentametilbenceno (75 mg, 0,456 mmol), seguido de BCI<sub>3</sub> (0,27 ml, 0,275 mmol, 1 M en DCM) añadido gota a gota a lo largo de 5 min. La reacción se agitó a -78 °C durante 20 min y después se extinguió con tampón fosfato (2 ml). Se extrajo en DCM (3 x 5 ml) y se separó. La capa orgánica se secó sobre MgSO<sub>4</sub>, se filtró y se concentró al vacío. Se logró la purificación mediante una cromatografía en columna de resolución rápida (EtOAc al 30-60%/éter de petróleo) para producir **17** (17 mg, 54%, 79% b.r.s.m) como un sólido de color amarillo pálido, p.f. 156-158 °C; R<sub>f</sub> = 0,20 (EtOAc al 40%/éter de petróleo); IR v<sub>max</sub> 3210 (v<sub>OH</sub>), 3046 (v<sub>CH</sub>), 2920, 2853, 1731 (v<sub>CO</sub>), 1631, 1595, 1557, 1480, 1435, 1314, 1199, 1116, 1022, 949 cm<sup>-1</sup>; RMN de <sup>1</sup>H (MeOD)  $\delta$  3,64 (1H, dd, J = 19,9, 11,2, CH<sub>2</sub>S), 3,66 (1H, dd, J = 22,5, 11,2, CH<sub>2</sub>S), 3,81 (3H, s, OCH<sub>3</sub>), 5,27 (1H, t, J = 9,0, CHCO<sub>2</sub>Me), 6,78 (1H, d, J = 15,4, CHC(N)S), 6,99 (1H, dd, J = 15,4, 2,4, CHCHC(N)S), 7,08-7,18 (2H, m, CHC(N)S, ArH), 7,25-7,31 (1H, m, CHC(N)S), 7,29 (1H, d, J = 2,4, ArH), 7,76 (1H, d, J = 8,9, ArH); RMN de <sup>13</sup>C (MeOD)  $\delta$  35,3 (CH<sub>2</sub>), 53,1 (CH<sub>3</sub>), 78,6 (CH), 107,4 (CH), 117,7 (CH), 124,5 (CH), 129,3 (CH), 131,9 (CH), 135,5 (CH), 142,2 (CH), 148,4 (C), 158,1 (C), 164,2 (C), 172,3 (C), 172,6 (C); m/z (ES+) 347 (100%, M<sup>+</sup>+H), 279 (39%), 229 (15%), 202 (28%), 196 (58%); HRMS C<sub>16</sub>H<sub>15</sub>N<sub>2</sub>O<sub>3</sub>S<sub>2</sub> calc. 347,0524, encontrado 347,0536.

Síntesis de ácido 2-(4-(6-hidroxibenzotiazol-2-il)aril)-4,5-dihidrotiazol-4-carboxílico (20)

La síntesis puede comenzar con el 2-amino-6-metoxibenzotiazol disponible en el mercado. La amina después puede convertirse en el tiol con puente (18) empleando KOH siguiendo el método descrito por Fink *et al.*, Bioorg. & Med. Chem. Lett., 2006, 16, 1532.

### 5 4-(6-hidroxibenzotiazol-2-il)benzonitrilo (18)

Una disolución de **18** (104 mg, 0,371 mmol) y 4-cianobenzaldehído (99 mg, 0,757 mmol) en DMSO anhidro (3 ml) se trató con metabisulfato de sodio y se calentó hasta 140 °C durante 3 h. Después de esto la reacción se enfrió hasta la temperatura ambiente y se añadió  $H_2O$  (10 ml). El precipitado de color marrón resultante se filtró para producir **19** (55 mg, 29%) como un sólido de color marrón. Rf = 0,51 (EtOAc al 40%/éter de petróleo); RMN de <sup>1</sup>H (MeOD)  $\delta$  7,04 (1H, dd, J = 10,9, 2,3, Ar*H*), 7,36 (1H, d, J = 2,3, Ar*H*), 7,88 (2H, d, J = 8,4, Ar*H*), 7,88 (1H, d, Ar*H*), 8,19 (2H, d, J = 8,4, Ar*H*); RMN de <sup>13</sup>C (MeOD)  $\delta$  107,5 (CH), 114,7 (C), 117,9 (CH), 119,3 (C), 125,1 (CH), 128,6 (CH), 134,1 (CH), 138,2 (C), 138,9 (C), 148,9 (C), 158,1 (C), 163,6 (C).

Síntesis de 6-hidroxi-2-(1-ceto-2-(4S-metoxicarbonil-4,5-dihidrotiazol-2-il)etil)benzotiazol (24)

15

10

La síntesis puede comenzar con el 6-metoxi-2-metilbenzotiazol disponible en el mercado. El grupo metilo después puede oxidarse empleando SeO<sub>2</sub> siguiendo el método descrito en la patente de EE. UU. US4826833.

#### 2-hidroxi-3-(6-metoxibenzotiazol-2-il)propionitrilo (22)

Se enfrió THF (5 ml) hasta -78 °C empleando un baño de acetona/CO $_2$  (s) y se añadió gota a gota nBuLi (0,39 ml, 0,621 mmol, 1,6 M en hexanos). La disolución resultante se agitó durante 5 min y después se trató con MeCN (34 µl, 0,650 mmol), se agitó durante 15 min y se añadió gota a gota una disolución de **21** (100 mg, 0,518 mmol) en THF (2 ml). La mezcla de reacción se retiró del baño de  $CO_2$  (s) y se agitó durante 2 h. Después de esto la mezcla de reacción se extinguió con NaHCO $_3$  saturado (ac.) (2 ml), se extrajo con EtOAc (10 ml), se lavó con  $H_2O$  (5 ml), se secó (MgSO $_4$ ), se filtró y se concentró al vacío. Se logró la purificación mediante una cromatografía en columna de resolución rápida (EtOAc al 50%/éter de petróleo) para producir **22** (51 mg, 42%) como un sólido de color naranja, p.f. 78-80 °C;  $R_f$  = 0,32 (EtOAc al 50%/éter de petróleo);  $R_f$   $R_f$ 

Después puede lograrse la oxidación y la desprotección de 22 para proporcionar 23, y 23 puede convertirse en 24 mediante la manipulación del grupo nitrilo y una condensación con cisteína.

Síntesis de 6-hidroxi-2-(2-(4S-metoxicarbonil-4,5-dihidrotiazol-2-il)etinil)benzotiazol (26)

Un acoplamiento de Sonagashira de 2 y etiniltrimetilsilano y una posterior hidrólisis y reacción con cianato de fenilo puede proporcionar el nitrilo 25. Este entonces puede convertirse en 26 mediante la manipulación del grupo nitrilo y una condensación con cisteína.

Caracterización de la bioluminiscencia de los compuestos

25 Polinucleótidos que codifican luciferasas mutantes

## x5 luciferasa:

5

10

15

20

CACGCCAGAGATCCTATTTTTGGCAATCAAATCAAACCGGATACTGCGATTTTAAGTGTT GTTCCATCCATCACGGTTTTGGAATGTTTACTACACTCGGATATTTGATATGTGGATTT CGAGTCGTCTTAATGTATAGATTTGAAGAAGAGCTGTTTTTACGATCCCTTCAGGATTACAAAATTCAAAGTGCGTTGCTAGTACCAACCCTATTTTCATTCTTCGCCAAAAGCACTCTG ATTGACAAATACGATTTATCTAATTTACACGAAATTGCTTCTGGGGGGCGCACCTCTTTCG AAAGAAGTCGGGGAAGCGGTTGCAAAACGCTTCCATCTTCCAGGGATACGACAAGGATAT GGGCTCACTGAGACTACATCAGCTATTCTGATTACACCCGAGGGGGATGATAAACCGGGC GCGGTCGGTAAAGTTGTTCCATTTTTTGAAGCGAAGGTTGTGGATCTGGATACCGGGAAA ACGCTGGGCGTTAATCAGAGAGGCGAATTATGTCTCAGAGGACCTATGATTATGTCCGGT GGAGACATAGCTTACTGGGACGAAGACGAACACTTCTTCATAGTTGACCGCTTGAAGTCTTTAATTAAATACAAAGGATATCAGGTGGCCCCCGCTGAATTGGAATCGATATTGTTACAA CACCCAACATCCGCGACGCCGGCGTGGCAGGTCTTCCCGACGATGACGCCGGTGAACTT TACGTCGCCAGTCAAGTAACAACCGCGAAAAAGTTGCGCGGAGGAGTTGTGTTTGTGGAC GAAGTACCGAAAGGTCTTACCGGAAAACTCGACGCAAGAAAAATCAGAGAGATCCTCATA AAGGCCAAGAAGGGCGGAAAGTAA

## x5 rojo:

ATGGAGGACGCCAAGAACATCAAGAAGGGACCAGCCCCCAGATACCCCCTGGAGGACGGCACAGCCGGCGAGCAGCTGCACAAGGCCATGAAGCGGTACGCCCAGGTGCCAGGCACCATC GCCTTCACCGACGCCCACATCGAGGTGAACATCACCTACGCCGAGTACTTCGAGATGAGC TGCAGCGAGAACAGCCTGCAGTTCTTCATGCCCGTGCTGGGAGCCCTGTTCATCGGCGTG GCCGTGGCCCCAGCCAACGACATCTACAACGAGCGGGAGCTGCTGAACAGCATGAACATC AGCCAGCCCACCGTGGTGTTCGTGAGCAAGAAGGGCCTGCAGAAGATCCTGAATGTGCAG AAGAAGCTGCCCATCATCCAGAAGATCATCATCATGGACAGCAAGACCGATTACCAGGGC TTCCAGAGCATGTACACCTTCGTGACCAGCCACCTGCCCCCAGGCTTCAACGAGTACGAC CACGCCAGAGACCCCATCTTCGGCAACCAGATCATCCCCGACACCGCCATCCTGAGCGTG GTGCCCTTCCACCACGGCTTCGGCATGTTCACCACCCTGGGCTACCTGATCTGCGGCTTC  ${\tt CGGGTGGTGCTGATGTACAGGTTCGAGGAGGAGCTGTTCCTGCGGAGCCTGCAGGACTAC}$ AAGATCCAGACCGCCCTGCTGGTGCCCACCCTGTTCAGCTTCTTCGCCAAGAGCACCCTG ATCGACAAGTACGACCTGAGCAACCTGCACGAGATCGCCTCTGGCGGAGCCCCACTGAGC AAGGAGGTGGGCGAGGCCGTGGCCAAGCGGTTCCACCTGCCAGGCATCCGGCAGGGCTAC GGCCTGACCGAGACCACCAGCGCCATCCTGATCACCCCCGAGGGCGACGACAAGCCCGGA GCCGTGGGCAAGGTGGTGCCCTTCTTCGAGGCCAAGGTGGTGGACCTGGACACCGGCAAG ACCCTGGGCGTGAACCAGAGAGGCGAGCTGTGCGTGAGAGGCCCCATGATCATGAGCGGC GGCGACATCGCCTACTGGGACGAGGACGAGCACTTCTTCATCGTGGACCGGCTGAAGAGC TACGTGGCCAGCCAGGTGACCACCGCCAAGAAGCTGAGAGGCGGCGTGGTGTTCGTGGAC GAGGTGCCCAAGGGCCTGACCGCAAGCTGGACGCCAGAAAGATCCGGGAGATCCTGATC AAGGCCAAGAAGGGCGGCAAGTAA

#### Bioluminiscencia

5 Tabla de los máximos de longitudes de onda de emisión de bioluminiscencia (λmax) con LH<sub>2</sub> nativa y el compuesto 9.

Nombre del mutante	λmax con luciferina (nm)	λmax con el compuesto 9 (nm)
Fluc de tipo salvaje	557	662
Fluc x5	557	638
Fluc x5 rojo	620	700

Los valores de λmax de bioluminiscencia para LH<sub>2</sub> y el compuesto 9 se ensayaron con enzimas purificadas. Los detalles experimentales fueron iguales en que la figura 2. Estos resultados demuestran que el compuesto 9 representa un análogo de la luciferina multiparamétrico cercano al infrarrojo (nIR).

## 5 Cinética de saponificación

10

15

Parámetros cinéticos aparentes para el éster etílico de LH<sub>2</sub> y el compuesto 12.

Sustrato	Km aparente (μM)	Kcat aparente (RLU s <sup>.1</sup> ) (x 10 <sup>15</sup> )	Kcat/Km aparente (s <sup>-1</sup> μM <sup>-1</sup> ) (x 10 <sup>15</sup> )
Éster etílico de LH <sub>2</sub>	11,9 ± 0,6	861 ± 206	75 ± 18
Compuesto 12	11,8 ± 1,9	17,5 ± 9	1,5 ± 1

Cinética de Michaelis-Menten: se incubaron concentraciones de cada éster entre 1,9 mM y 0,38 mM con 100 µg de esterasa de hígado de cerdo a 37 °C durante 15 min y se dejó que se alcanzase la temperatura ambiente antes de que la luz se iniciase mediante la adición de 10 pmol de enzima Fluc y ATP 5,3 mM en reacciones de 55 µl. La luz se capturó empleando el instrumento Photon Imager (Biospace Labs, París, Francia) y se empleó la gráfica de Hanes-Woolf para analizar los parámetros cinéticos. La temperatura PMT varió entre -9-12 °C.

La cinética de la saponificación en células de mamífero mostró un aumento lento (aproximadamente 2 min) hasta la actividad máxima. Se observó que la Km aparente del compuesto 12 era la misma que LH<sub>2</sub>, lo cual indica una afinidad similar por el sustrato, aunque la Kcat es menor, probablemente debido a la extinción por el emisor.

## LISTA DE SECUENCIAS

	<110> UCL Business Plc							
5	<120> Compuestos y sus usos							
	<130> P527941PCT							
10	<150> GB1306248.4 <151> 05-04-2013							
	<160> 2							
	<170> PatentIn versión 3.5							
15	<210> 1 <211> 1644 <212> DNA <213> Secuer	ncia Artificial						
20	<220> <223> Constr	<220> <223> Construcción sintética						
	<400> 1 atggaagacg	ccaaaaacat	aaagaaaggc	ccggcaccac	gctatcctct	agaggatgga	60	
	accgctggag	agcaactgca	taaggctatg	aagagatacg	cccaggttcc	tggaacaatt	120	
	gcttttacag	atgcacatat	cgaggtgaac	atcacgtacg	cggaatactt	cgaaatgtcc	180	
	gttcggttgg	cagaagctat	gaaacgatat	gggctgaata	caaatcacag	aatcgtcgta	240	
	tgcagtgaaa	actctcttca	attctttatg	ccggtgttgg	gcgcgttatt	tatcggagtt	300	
	gcagttgcgc	ccgcgaacga	catttataat	gaacgtgaat	tgctcaacag	tatgaacatt	360	
	tcgcagccta	ccgtagtgtt	tgtttccaaa	aaggggttgc	aaaaaatttt	gaacgtgcaa	420	
	aaaaaattac	caataatcca	gaaaattatt	atcatggatt	ctaaaacgga	ttaccaggga	480	
	tttcagtcga	tgtacacgtt	cgtcacatct	catctacctc	ccggttttaa	tgaatacgat	540	
	tttaaaccag	aaagctttga	tcgtgacaaa	acaattgcac	tgataatgaa	ttcctctgga	600	
	tctactgggt	tacctaaggg	tgtggccctt	ccgcatagaa	ctgcctgcgt	cagattctcg	660	
	cacgccagag	atcctatttt	tggcaatcaa	atcaaaccgg	atactgcgat	tttaagtgtt	720	
	gttccattcc	atcacggttt	tggaatgttt	actacactcg	gatatttgat	atgtggattt	780	
	cgagtcgtct	taatgtatag	atttgaagaa	gagctgtttt	tacgatccct	tcaggattac	840	
	aaaattcaaa	gtgcgttgct	agtaccaacc	ctattttcat	tcttcgccaa	aagcactctg	900	
	attgacaaat	acgatttatc	taatttacac	gaaattgctt	ctgggggcgc	acctctttcg	960	
	aaagaagtcg	gggaagcggt	tgcaaaacgc	ttccatcttc	cagggatacg	acaaggatat	1020	
	gggctcactg	agactacatc	agctattctg	attacacccg	agggggatga	taaaccgggc	1080	
	gcggtcggta	aagttgttcc	attttttgaa	gcgaaggttg	tggatctgga	taccgggaaa	1140	

acgctgggcg ttaatcagag aggcgaatta tgtgtcagag gacctatgat tatgtccggt

tatgtaaaca	atccggaagc	gaccaacgcc	ttgattgaca	aggatggatg	gctacattct	1260
ggagacatag	cttactggga	cgaagacgaa	cacttcttca	tagttgaccg	cttgaagtct	1320
ttaattaaat	acaaaggata	tcaggtggcc	cccgctgaat	tggaatcgat	attgttacaa	1380
caccccaaca	tccgcgacgc	cggcgtggca	ggtcttcccg	acgatgacgc	cggtgaactt	1440
cccgccgccg	ttgttgtttt	ggagcacgga	aagacgatga	cggaaaaaga	gatcgtggat	1500
tacgtcgcca	gtcaagtaac	aaccgcgaaa	aagttgcgcg	gaggagttgt	gtttgtggac	1560
gaagtaccga	aaggtcttac	cggaaaactc	gacgcaagaa	aaatcagaga	gatcctcata	1620
aaggccaaga	agggcggaaa	gtaa				1644
<210> 2 <211> 1644 <212> DNA <213> Secuer	ncia Artificial					
<220> <223> Constr	ucción sintética	a				
<400> 2 atggaggacg	ccaagaacat	caagaaggga	ccagccccca	gataccccct	ggaggacggc	60
acagccggcg	agcagctgca	caaggccatg	aagcggtacg	cccaggtgcc	aggcaccatc	120
gccttcaccg	acgcccacat	cgaggtgaac	atcacctacg	ccgagtactt	cgagatgagc	180
gtgcggctgg	ccgaggccat	gaagcggtac	ggcctgaaca	ccaaccaccg	gatcgtggtg	240
tgcagcgaga	acagcctgca	gttcttcatg	cccgtgctgg	gagccctgtt	catcggcgtg	300
gccgtggccc	cagccaacga	catctacaac	gagcgggagc	tgctgaacag	catgaacatc	360
agccagccca	ccgtggtgtt	cgtgagcaag	aagggcctgc	agaagatcct	gaatgtgcag	420
aagaagctgc	ccatcatcca	gaagatcatc	atcatggaca	gcaagaccga	ttaccagggc	480
ttccagagca	tgtacacctt	cgtgaccagc	cacctgcccc	caggcttcaa	cgagtacgac	540
ttcaagcccg	agagcttcga	ccgggacaag	accatcgccc	tgatcatgaa	cagcagcggc	600
agcaccggcc	tgcccaaggg	cgtggccctg	ccccaccgga	ccgcctgcgt	gcggttcagc	660
cacgccagag	accccatctt	cggcaaccag	atcatccccg	acaccgccat	cctgagcgtg	720
gtgcccttcc	accacggctt	cggcatgttc	accaccctgg	gctacctgat	ctgcggcttc	780
cgggtggtgc	tgatgtacag	gttcgaggag	gagctgttcc	tgcggagcct	gcaggactac	840
aagatccaga	ccgccctgct	ggtgcccacc	ctgttcagct	tcttcgccaa	gagcaccctg	900
atcgacaagt	acgacctgag	caacctgcac	gagatcgcct	ctggcggagc	cccactgagc	960

aaggaggtgg gcgaggccgt ggccaagcgg ttccacctgc caggcatccg gcagggctac

ggcctgaccg agaccaccag cgccatcctg atcacccccg agggcgacga caagcccgga

gccgtgggca	aggtggtgcc	cttcttcgag	gccaaggtgg	tggacctgga	caccggcaag	1140
accctgggcg	tgaaccagag	aggcgagctg	tgcgtgagag	gccccatgat	catgagcggc	1200
tacgtgaaca	accccgaggc	caccaacgcc	ctgatcgaca	aggacggctg	gctgcacagc	1260
ggcgacatcg	cctactggga	cgaggacgag	cacttcttca	tcgtggaccg	gctgaagagc	1320
ctgatcaagt	acaagggcta	ccaggtggcc	ccagccgagc	tggagagcat	cctgctgcag	1380
caccccaaca	tcttcgacgc	cggagtggcc	ggactgcccg	acgacgacgc	cggagagctg	1440
ccagccgccg	tggtggtgct	ggagcacggc	aagaccatga	ccgagaagga	gatcgtggac	1500
tacgtggcca	gccaggtgac	caccgccaag	aagctgagag	gcggcgtggt	gttcgtggac	1560
gaggtgccca	agggcctgac	cggcaagctg	gacgccagaa	agatccggga	gatcctgatc	1620
aaggccaaga	aggggggaa	gtaa				1644

#### REIVINDICACIONES

#### 1.- Un compuesto según la fórmula (II):

$$R^{1}M \xrightarrow{(R^{2})_{n}} X \xrightarrow{Y} R^{3}$$
(II)

en la que:

5 R¹ es hidrógeno o un grupo alquilo opcionalmente sustituido;

cada R², cuando está presente, es un grupo seleccionado independientemente de hidroxilo opcionalmente sustituido, amino opcionalmente sustituido, tiol opcionalmente sustituido, alquilo opcionalmente sustituido, y arilo opcionalmente sustituido;

R<sup>3</sup> es un grupo carboxilo o un grupo alquil((C<sub>1-6</sub>)carboniloxi opcionalmente sustituido;

M es un grupo seleccionado de O, S, y NR<sup>4</sup>, en el que R<sup>4</sup> es un grupo seleccionado de hidrógeno, alquilo opcionalmente sustituido, alquenilo opcionalmente sustituido, arilo opcionalmente sustituido, heteroarilo opcionalmente sustituido, y heterociclilo opcionalmente sustituido;

X es un grupo seleccionado de alquenileno opcionalmente sustituido, alquinileno opcionalmente sustituido, arileno opcionalmente sustituido, y sus combinaciones, o alquilencarbonilo opcionalmente sustituido;

15 n es 0, 1, 2, o 3;

V e Y se seleccionan cada uno independientemente de CR5 y N;

W y Z se seleccionan cada uno independientemente de NR7, S y O;

R<sup>5</sup> es un grupo seleccionado de hidrógeno, hidroxilo opcionalmente sustituido, alquilo opcionalmente sustituido, y amino opcionalmente sustituido; y

20 R<sup>7</sup> es un grupo seleccionado de hidrógeno, alguilo opcionalmente sustituido; y arilo opcionalmente sustituido;

en la que cada uno de los grupos opcionalmente sustituidos listados anteriormente está opcionalmente sustituido con:

- (1) un grupo seleccionado de -J-arilo, -J-heteroarilo, -J-heterociclilo y -J-cicloalquilo C<sub>3-6</sub>, en los que J representa un enlace o alquileno C<sub>1-3</sub>, y dicho arilo se selecciona de fenilo, dicho heteroarilo se selecciona de triazolilo, tiazolilo, tienilo, pirazolilo, pirimidilo, piridazinilo, pirazinilo, y piridilo, dicho heterociclilo se selecciona de pirrolidinilo, azetidinilo, pirazolidinilo, piperidinilo, piperazinilo, morfolinilo, y tiazolidinilo, y dicho cicloalquilo C<sub>3-6</sub> se selecciona de ciclopropilo, ciclopentilo y ciclohexilo; o
  - (2) uno a tres sustituyentes seleccionados de:
  - (a) alquilo C<sub>1-6</sub> (preferiblemente metilo, etilo o isopropilo),
- 30 (b) alquenilo C<sub>1-3</sub> (preferiblemente propenilo),
  - (c) halógeno (preferiblemente CI o Br),
  - (e) haloalquilo C<sub>1-6</sub> (preferiblemente trifluorometilo),
  - (d) ciano,

- (e) amino, opcionalmente mono- o disustituido con alquilo C<sub>1-3</sub>, terc-butoxicarbonilo o bencilo,
- 35 (f) alcoxi C<sub>1-3</sub> (preferiblemente metoxi),
  - (g) (alquil C<sub>1-6</sub>)carbonilo (preferiblemente acetilo),
  - (h) (alcoxi C<sub>1-3</sub>)carbonilo,
  - (i) (alquil C<sub>1-3</sub>)carboniloxi, incluyendo carboxilo, y

- (j) (alquil C<sub>1-3</sub>)carbamoílo, incluyendo carbamoílo.
- 2.- Un compuesto según la reivindicación 1, en el que n es 0 o 1.
- 3.- Un compuesto según la reivindicación 1 o la reivindicación 2, que tiene la fórmula (III):

## 5 en la que:

15

V e Y se seleccionan cada uno independientemente de CR5 y N; y

W y Z se seleccionan cada uno independientemente de NR7, S, y O.

- 4.- Un compuesto según una cualquiera de las reivindicaciones anteriores, en el que V e Y son cada uno N y/o en el que W y Z son cada uno S.
- 10 5.- Un compuesto según una cualquiera de las reivindicaciones anteriores, en el que R¹ es hidrógeno y/o

en el que  $R^2$  es un grupo seleccionado de hidroxilo opcionalmente sustituido, amino opcionalmente sustituido, y alquilo opcionalmente sustituido, y/o

en el que X es un grupo seleccionado de alquenileno opcionalmente sustituido, alquinileno opcionalmente sustituido, y alquilencarbonilo opcionalmente sustituido, preferiblemente en el que X es un grupo alquenileno opcionalmente sustituido, y/o

en el que M es O;

en el que los sustituyentes opcionales de cada uno de los grupos opcionalmente sustituidos son como se define en la reivindicación 1.

6.- Un compuesto según cualquiera de las reivindicaciones anteriores seleccionado de:

20

y sus ésteres de alquilo C<sub>1-6</sub>.

- 7.- Un compuesto según una cualquiera de las reivindicaciones anteriores para su uso para la formación de imágenes *in vivo*.
- 8.- Una composición que comprende un compuesto según una cualquiera de las reivindicaciones 1 a 6, y uno o más

ingredientes adicionales.

- 9.- El uso del compuesto según na cualquiera de las reivindicaciones 1 a 6 como marcador bioluminiscente para la medición *in vitro* de la expresión de luciferasa.
- 10.- Un método para la formación de imágenes in vivo, que comprende:
- administrar a un sujeto un compuesto según una cualquiera de las reivindicaciones 1 a 6 y una enzima luciferasa o un polinucleótido que codifica una enzima luciferasa, y
  - medir la emisión resultante de la acción de la enzima luciferasa sobre el compuesto.
  - 11.- Un método según la reivindicación 10, que comprende además generar una imagen basada en las mediciones obtenidas.
- 10 12.- Un kit que comprende un compuesto según una cualquiera de las reivindicaciones 1 a 6, y una enzima luciferasa o un polinucleótido que codifica una enzima luciferasa.

Figura 1

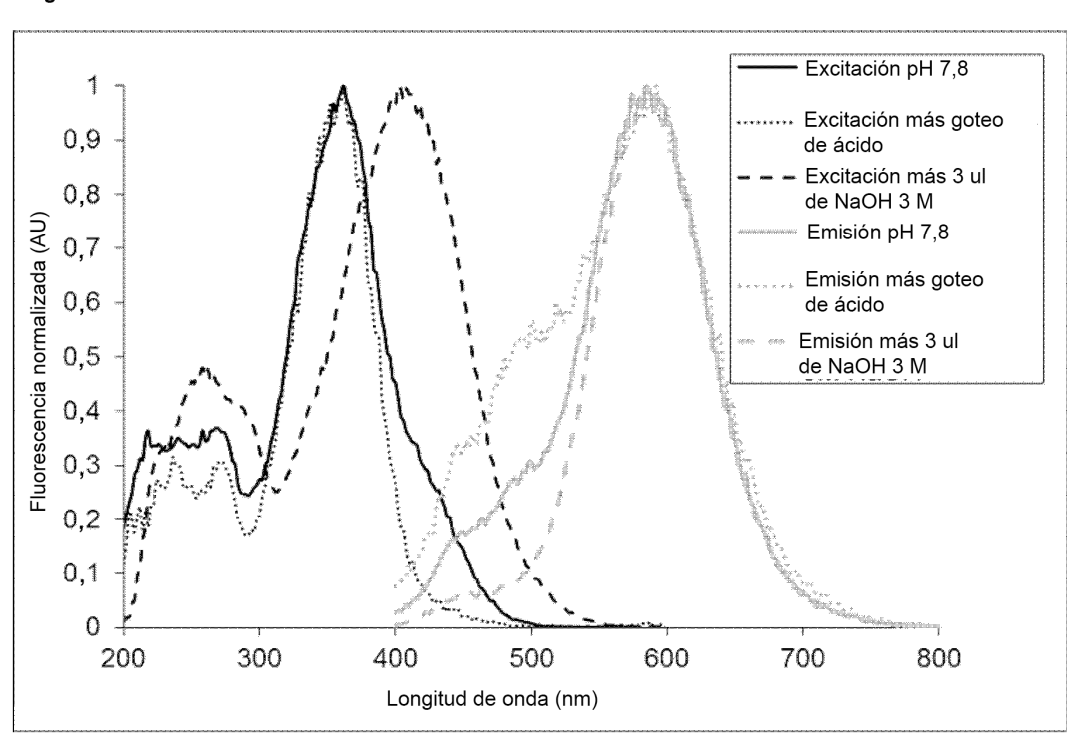


Figura 2

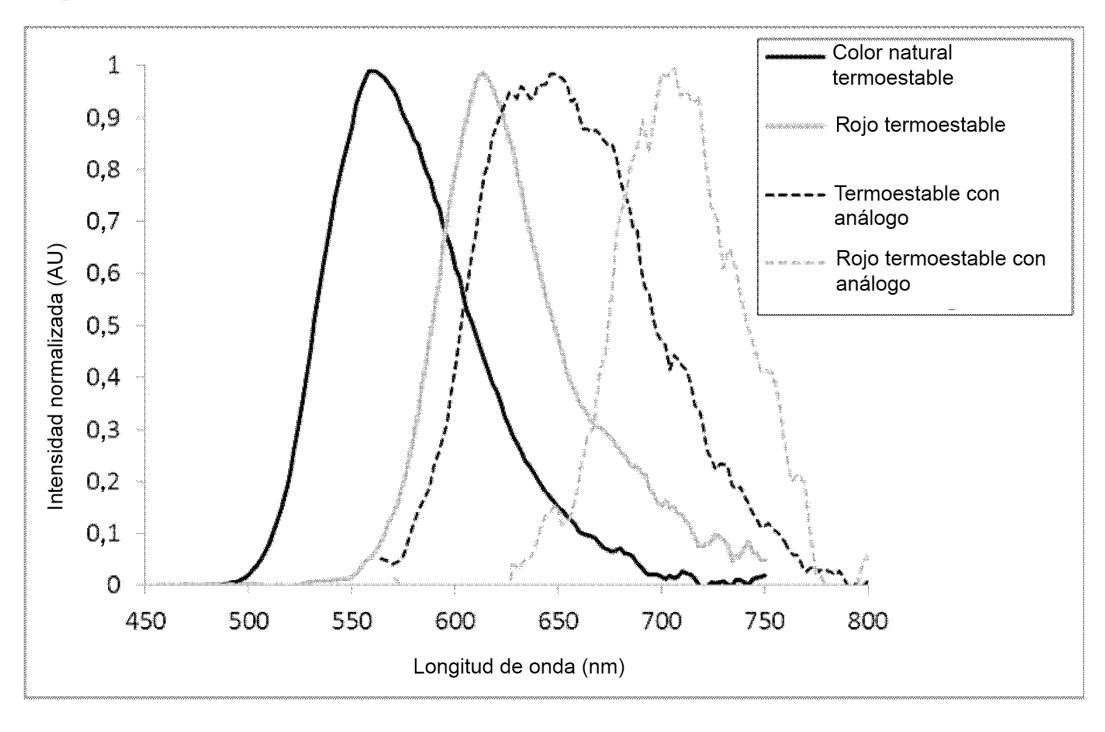


Figura 3

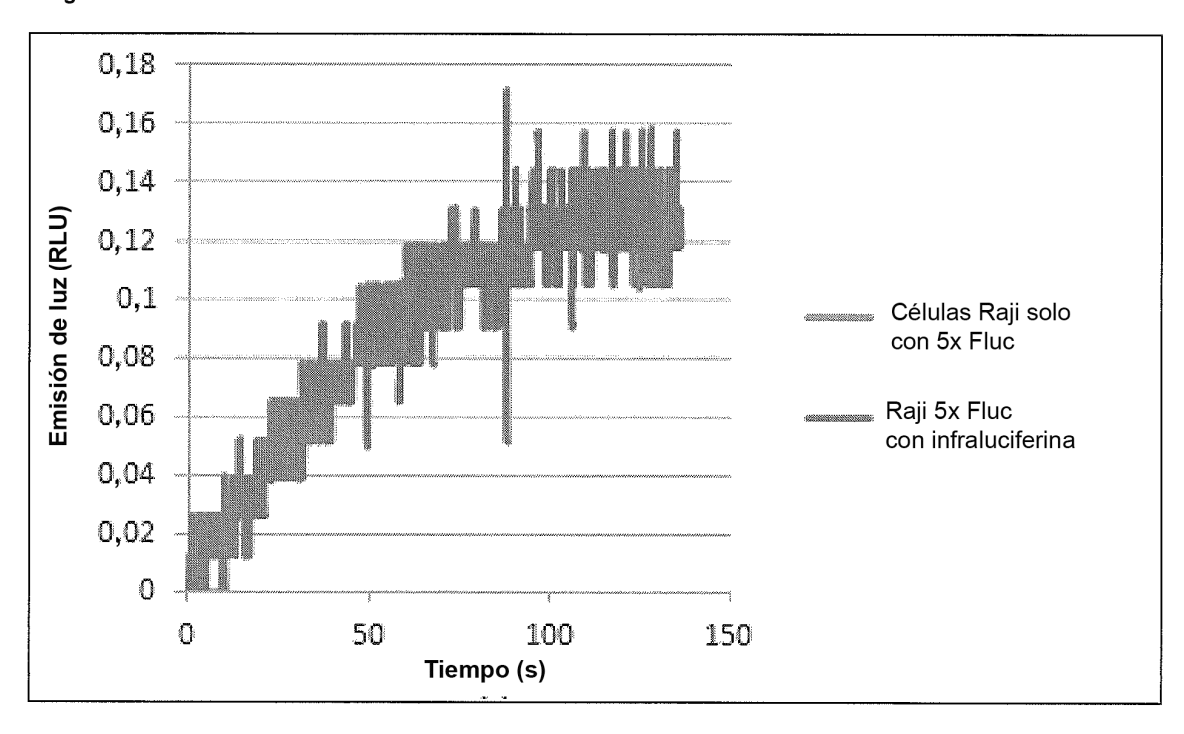


Figura 4

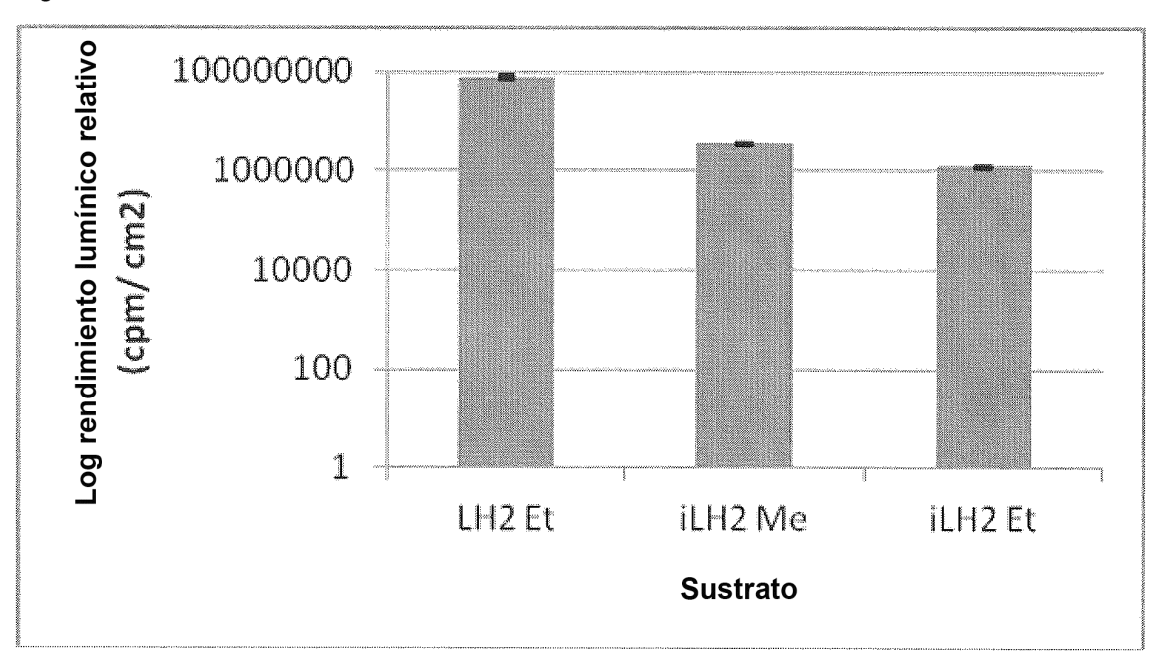


Figura 5

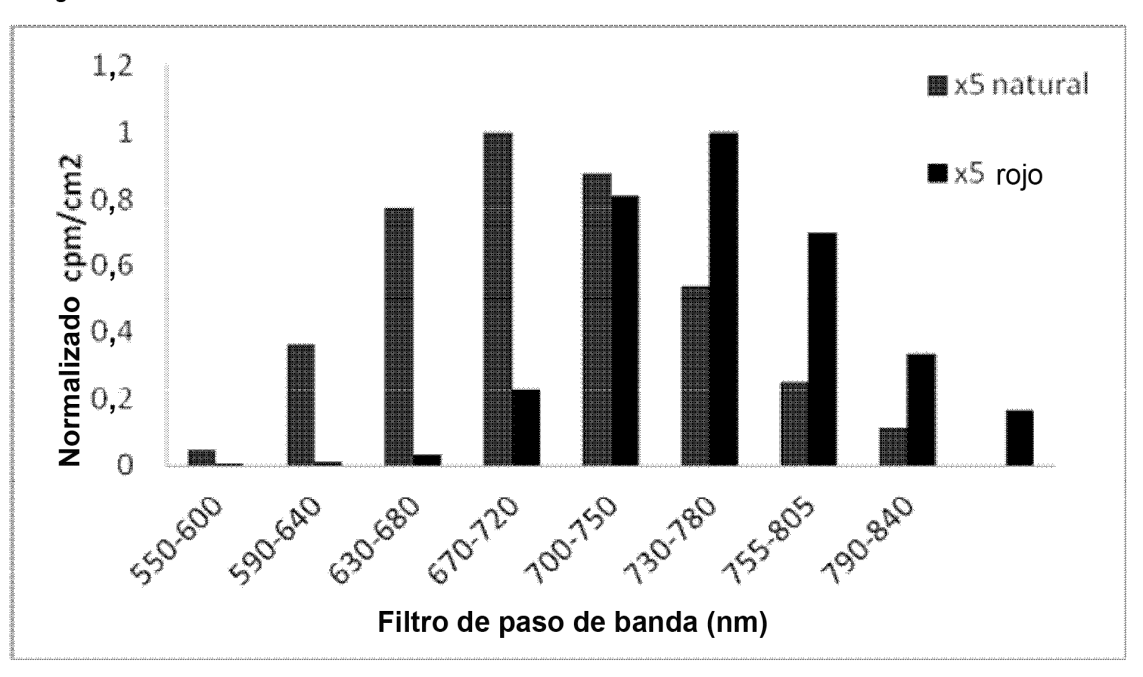


Figura 6

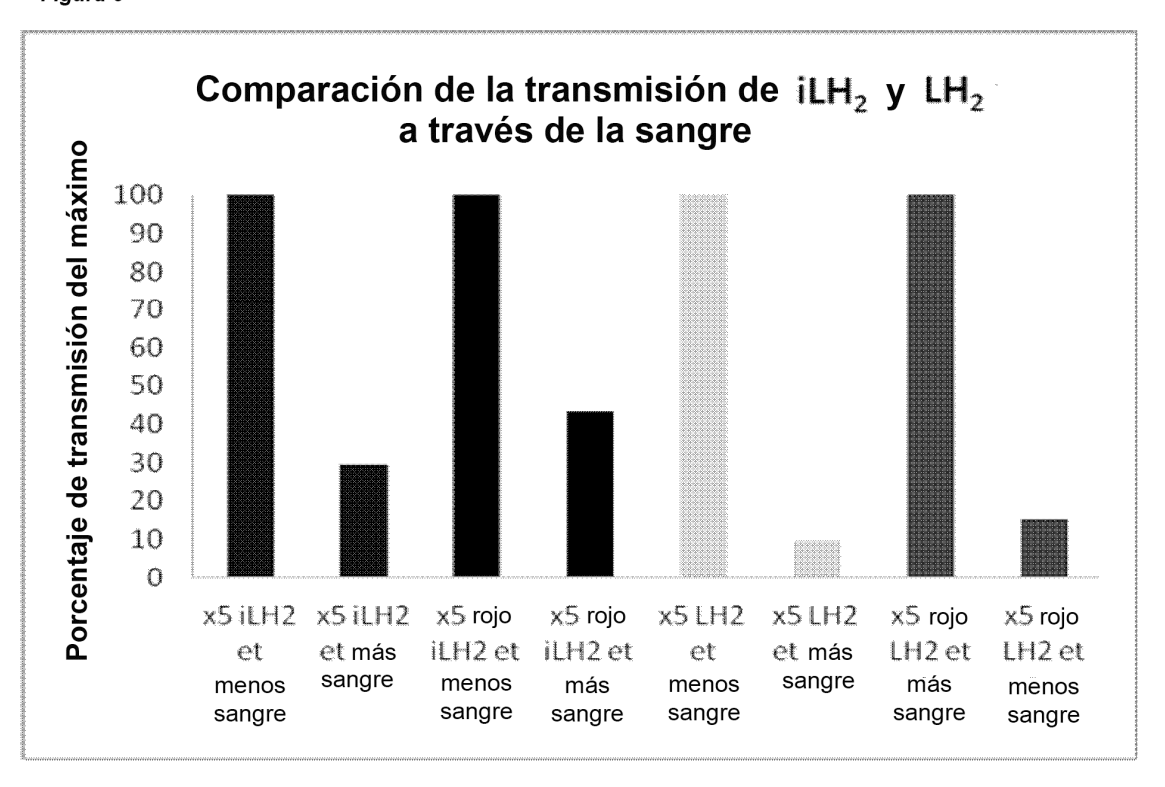


Figura 7

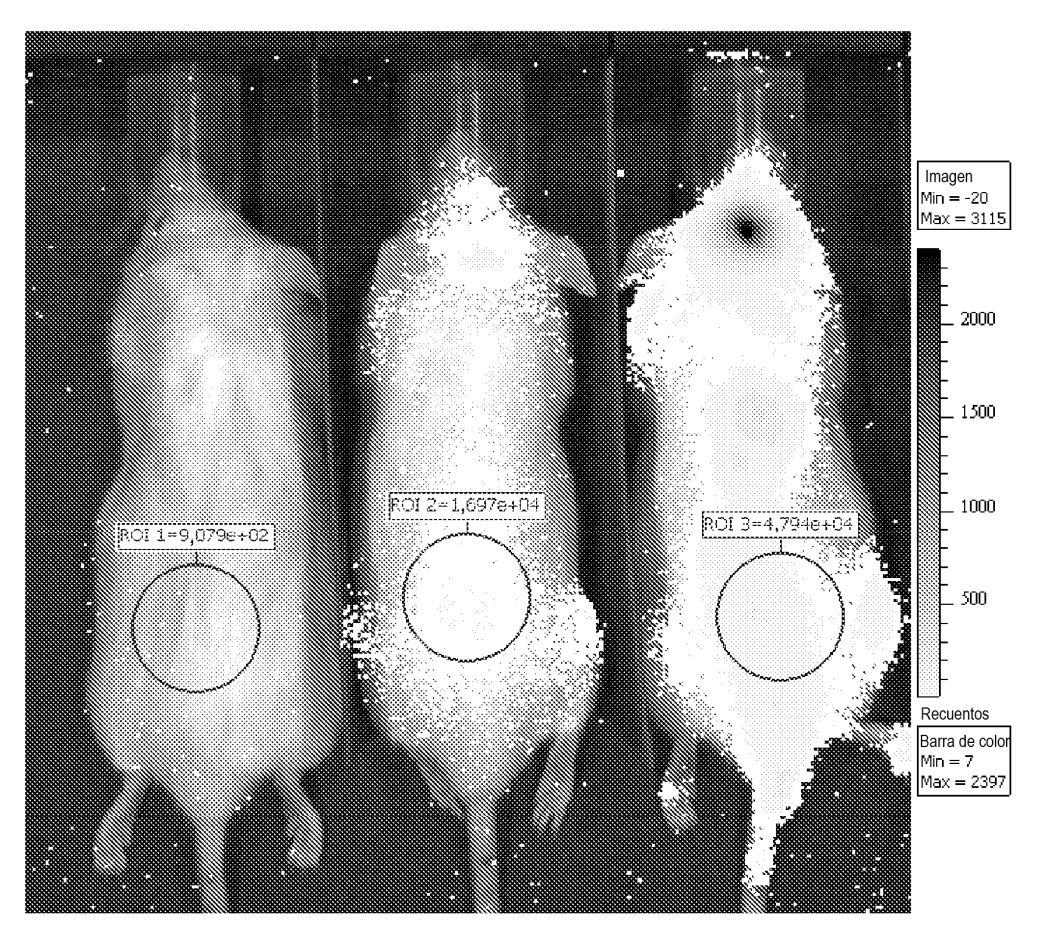


Figura 8

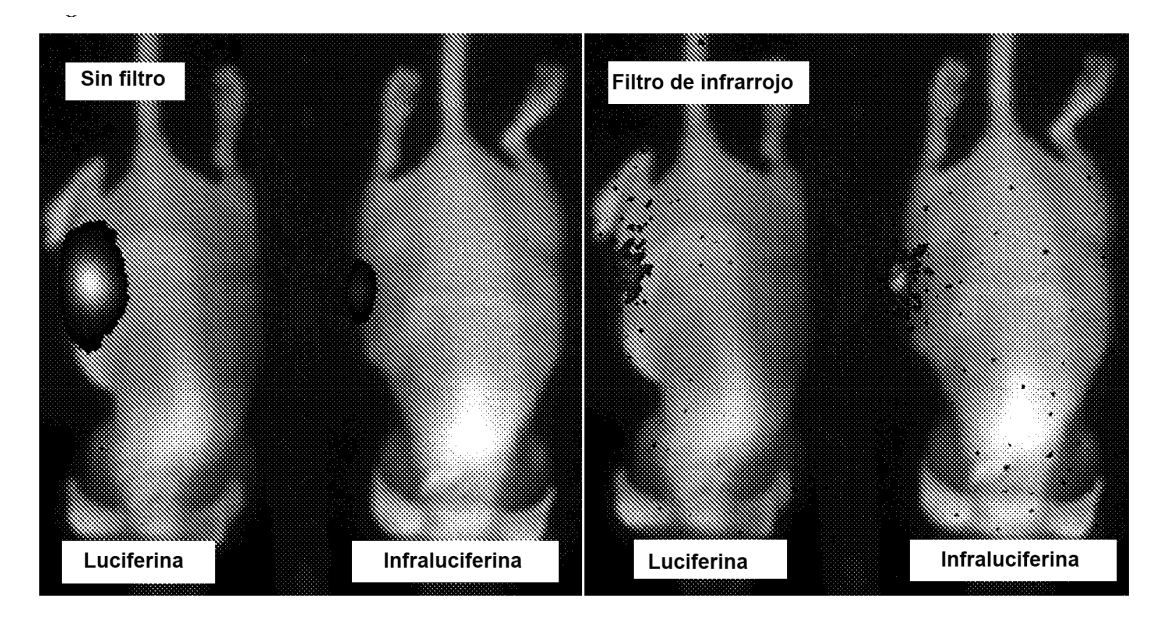


Figura 9

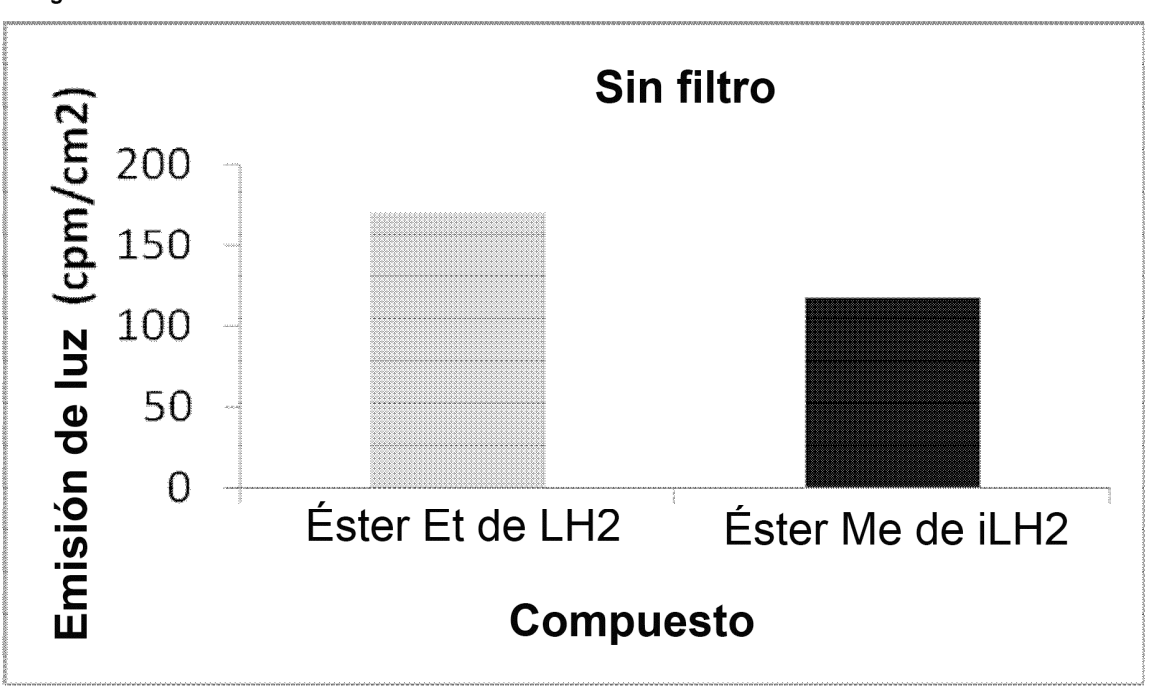


Figura 10

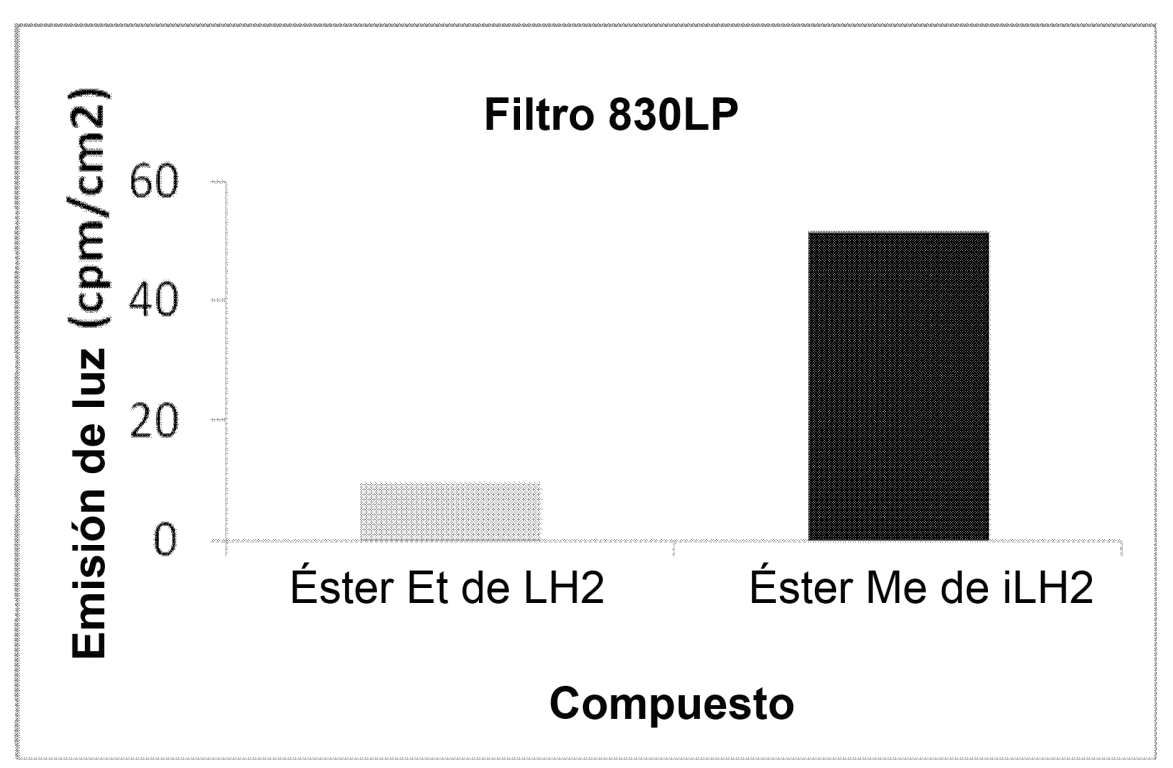


Figura 11

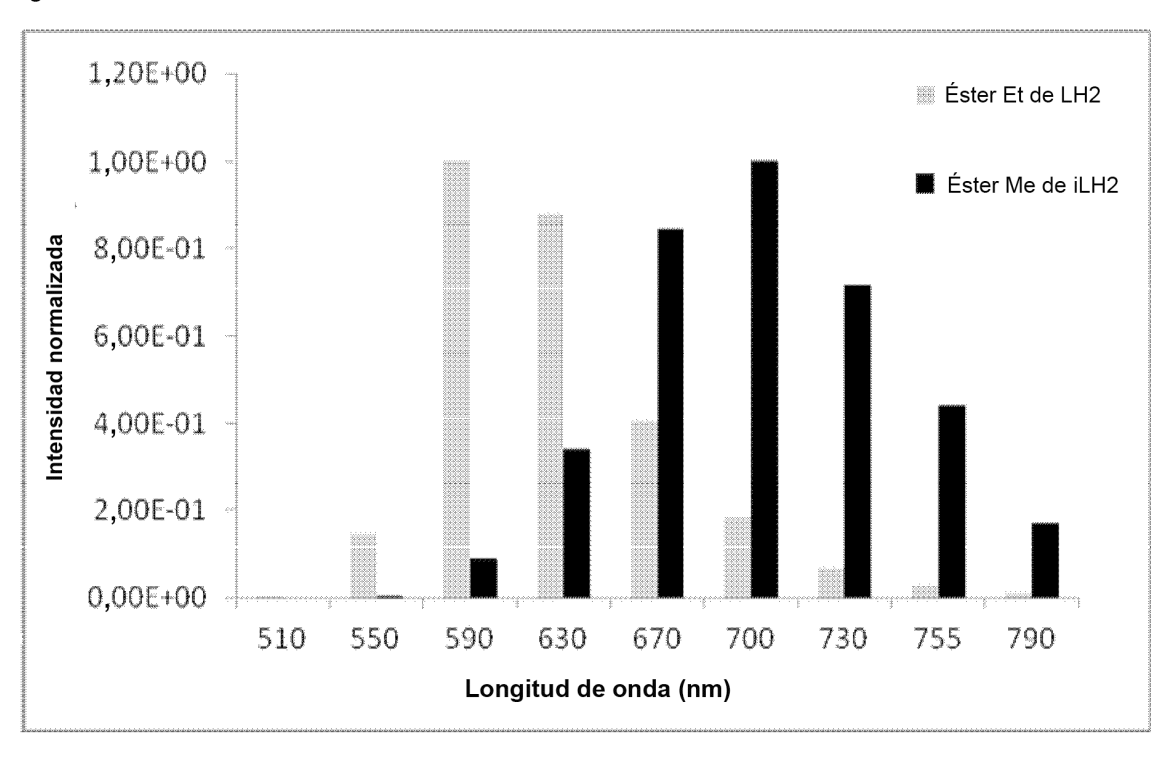


Figura 12

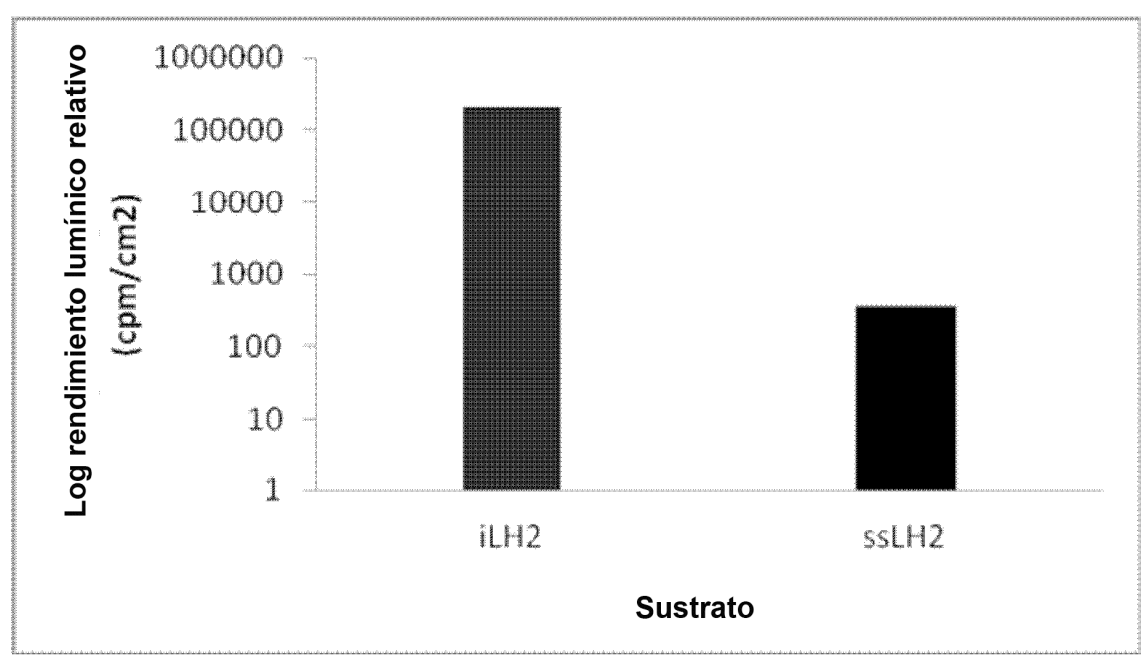


Figura 13

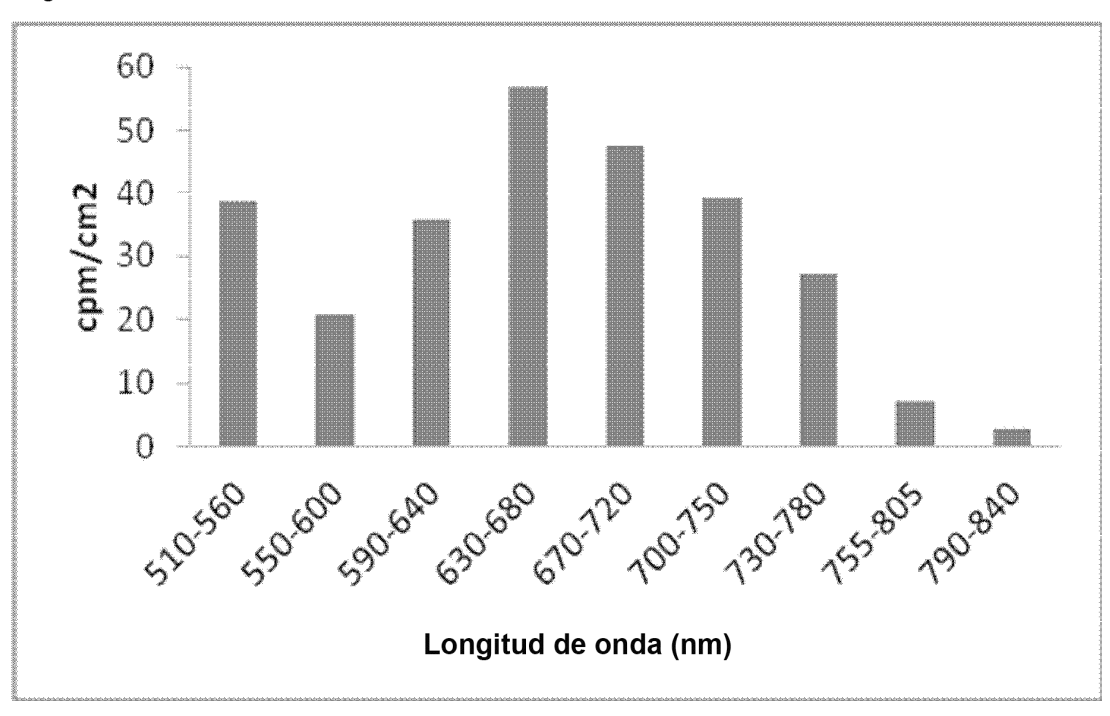


Figura 14

